



UNIVERSIDADE FEDERAL DA PARAÍBA
CENTRO DE TECNOLOGIA
GRADUAÇÃO EM ENGENHARIA DE PRODUÇÃO

**DETECÇÃO DE PADRÕES ANÔMALOS NA MOBILIDADE URBANA POR MEIO
DE INDEXAÇÃO ESPACIAL COM CÉLULAS H3**

MARIA EDUARDA GONÇALVES MOTA

JOÃO PESSOA - PB

2025

MARIA EDUARDA GONÇALVES MOTA

**DETECÇÃO DE PADRÕES ANÔMALOS NA MOBILIDADE URBANA POR MEIO
DE INDEXAÇÃO ESPACIAL COM CÉLULAS H3**

Trabalho de Conclusão de Curso desenvolvido e apresentado no âmbito do Curso de Graduação em Engenharia de Produção, da Universidade Federal da Paraíba, como requisito para obtenção do título de Engenheira de Produção.

Orientadora: Ma. Alessandra Berenguer de Moraes

JOÃO PESSOA – PB

2025



FOLHA DE APROVAÇÃO

Aluna: Maria Eduarda Gonçalves Mota

Título do trabalho: DETECÇÃO DE PADRÕES ANÔMALOS NA MOBILIDADE URBANA POR MEIO DE INDEXAÇÃO ESPACIAL COM CÉLULAS H3

Trabalho de conclusão de curso defendido e aprovado em 07 de maio de 2025 pela banca examinadora:

Documento assinado digitalmente
gov.br ALESSANDRA BERENGUER DE MORAES
Data: 13/05/2025 11:45:47-0300
Verifique em <https://validar.iti.gov.br>

Orientadora: Profa. Ma. Alessandra Berenguer de Moraes

Documento assinado digitalmente
gov.br HUGO HARRY FREDERICO RIBEIRO KRAMER
Data: 13/05/2025 14:46:14-0300
Verifique em <https://validar.iti.gov.br>

Examinador interno: Prof. Dr. Hugo Harry Frederico R Kramer

Documento assinado digitalmente
gov.br IVSON FERREIRA DOS ANJOS
Data: 13/05/2025 16:39:39-0300
Verifique em <https://validar.iti.gov.br>

Examinador interno: Prof. Dr. Ivson Ferreira dos Anjos

Catálogo na publicação
Seção de Catalogação e Classificação

Motd Mota, Maria Eduarda Goncalves.
DETECÇÃO DE PADRÕES ANÔMALOS NA MOBILIDADE URBANA
POR MEIO DE INDEXAÇÃO ESPACIAL COM CÉLULAS H3 / Maria
Eduarda Goncalves Mota. - João Pessoa, 2025.
73 f. : il.

Orientação: Alessandra Berenguer de Moraes.
TCC (Graduação) - UFPB/CT.

1. Sistema de Indexação Hexagonal H3; Mobilidade. I.
Berenguer de Moraes, Alessandra. II. Título.

UFPB/BSCT CDU 658.5(043.2)

AGRADECIMENTOS

A jornada da graduação é um caminho difícil que requer apoio de uma base familiar muito forte, principalmente quando precisamos deixar nossa cidade natal em busca da realização de um sonho.

Agradeço à minha maior e melhor rede de apoio, meu grande alicerce: minha família. Como Obi-Wan Kenobi guiou Luke Skywalker pelos caminhos da Força, meus pais me guiaram com sabedoria e sacrifício, tornando-me a primeira engenheira da família e a primeira pessoa a se formar em uma universidade federal. Para aqueles que incansavelmente lutaram pela minha educação, que sempre a priorizaram para que eu tivesse uma realidade diferente: vocês são extraordinários e uma vida inteira seria pouco para retribuir tudo que fizeram e ainda fazem por mim.

À minha irmãzinha, que mesmo tão pequena, é quem mais me incentiva a ser o meu melhor, que me enche de amor e carinho, minha melhor amiga e companheira.

Ao meu marido, meu porto seguro e maior incentivador, que não apenas me impediu de desistir nos momentos mais difíceis, mas que com seu amor incondicional e suporte diário me impulsionou a alcançar patamares que jamais imaginei na minha carreira. Obrigada por acreditar em mim quando nem eu mesma acreditava, por enxugar minhas lágrimas nos momentos de desespero e celebrar cada pequena vitória como se fosse sua. Serei eternamente grata por ter você ao meu lado nessa e em todas as jornadas da vida.

À Krix, Airtão, Jr e Andressa, minha segunda família que me acolheu de braços abertos nessa reta final. Vocês trouxeram luz aos dias mais difíceis, compartilhando não só gargalhadas, mas também sonhos, angústias e vitórias.

Aos amigos de sempre - Ju, Vanessa, Brina, Elane, Helo e Filipe. Nossa amizade ultrapassa qualquer distância e tempo. Agradeço também aos amigos da assessoria T3, que foram essenciais nesse processo, proporcionando momentos de descontração e leveza.

À minha orientadora, por sua prestatividade, didática e metodologia impecáveis. Sua ética é espelho para todos à sua volta, e encerrar este ciclo sob sua orientação é um privilégio.

Por fim, ao corpo docente e colaboradores do DEP, que fazem da universidade um exemplo para a educação pública. Aos professores, gratidão eterna pelo conhecimento e despertar de consciência que hoje carrego.

RESUMO

Esta pesquisa investiga a aplicação do Sistema de Indexação Hexagonal H3 na análise de padrões de mobilidade urbana e na detecção de fraudes em serviços de táxi. Utilizando dados de viagens de táxi amarelo de Nova York (janeiro/2024), o estudo emprega metodologia dedutiva, quantitativa e aplicada, implementando técnicas de análise espacial com células hexagonais hierárquicas para identificar comportamentos regulares e anomalias. Os resultados demonstram a superioridade do H3 em relação aos métodos tradicionais, apresentando 37% mais precisão na detecção de fraudes e possibilitando a identificação de clusters específicos com práticas irregulares, como viagens curtas com tarifas elevadas e registros de velocidades impossíveis. A análise revelou concentrações geográficas significativas de anomalias em áreas como aeroportos e zonas turísticas, bem como padrões temporais recorrentes, evidenciando comportamentos deliberados e sistemáticos. Conclui-se que a metodologia proposta contribui significativamente para a fiscalização e aprimoramento dos serviços de transporte urbano, com potencial aplicação em outros contextos metropolitanos.

Palavras-chave: Sistema de Indexação Hexagonal H3; Mobilidade Urbana; Detecção de Fraudes; Análise Espacial; Serviços de Táxi.

ABSTRACT

This research investigates the application of the H3 Hexagonal Indexing System in the analysis of urban mobility patterns and fraud detection in taxi services. Using data from yellow taxi trips in New York City (January 2024), the study employs a deductive, quantitative, and applied methodology, implementing spatial analysis techniques with hierarchical hexagonal cells to identify regular behaviors and anomalies. The results demonstrate the superiority of H3 compared to traditional methods, presenting 37% more precision in fraud detection and enabling the identification of specific clusters with irregular practices, such as short trips with high fares and records of impossible speeds. The analysis revealed significant geographic concentrations of anomalies in areas such as airports and tourist zones, as well as recurring temporal patterns, evidencing deliberate and systematic behaviors. It is concluded that the proposed methodology significantly contributes to the supervision and improvement of urban transport services, with potential application in other metropolitan contexts.

Keywords: H3 Hexagonal Indexing System; Urban Mobility; Fraud Detection; Spatial Analysis; Taxi Services..

LISTA DE ILUSTRAÇÕES

Figura 1 - Comparação das distâncias entre centroides em grades quadradas e hexagonais	18
Figura 2 - Comparação da eficiência espacial entre grades hexagonais (A) e quadradas (B), com gradientes indicando a distância dos centroides	18
Figura 3 - Mapeamento de densidade urbana com grades hexagonais sobrepostas, destacando padrões de mobilidade em uma área urbana	19
Figura 4 - Comparação da representação de dados populacionais em limites municipais e grades hexagonais, evidenciando a granularidade das análises espaciais	20
Figura 5 - Subdivisão em 7 no sistema H3	24
Figura 6 - Mapa de calor da densidade de viagens de táxi Nova York	28
Figura 7 - Detecção de Rotas Anômalas em Viagens de Táxi	30
Figura 8 - Mapa das Zonas de Táxi de NYC com Destaque para Áreas de Alta e Baixa Demanda	32
Figura 9 - Histogramas das Principais Variáveis	48
Figura 10 - Boxplot das Principais Variáveis de Viagens	49
Figura 11 - Distribuição das Viagens nas Horas do Dia	49
Figura 12 - Partidas com Maior Número de Viagens	50

Figura 13 - Relação Tarifa e Distância	51
Figura 14 - Relação Tarifa e Valor	52
Figura 15 - Concentração de Anomalias de Tarifas Elevadas por Célula H3	53
Figura 16 - Distribuição Temporal das Anomalias (Dia da Semana x Hora)	54
Figura 17 - Mapas de Anomalias por Célula H3	55
Figura 18 - Distribuição Temporal das Anomalias (Dia da Semana X Hora)	57
Figura 19 - Distribuição de Velocidades Anômalas por Célula H3	59
Figura 20 - Distribuição da Razão Tarifa/Distância por Célula H3	60
Figura 21 - Visualização Integrada das Dimensões de Anomalias	62
Figura 22 - Eficácia na Detecção de Anomalias: Métodos Tradicionais vs. Sistema H3	63

LISTA DE TABELAS

Tabela 1 - Características das Cinco Células H3 com Maior Concentração de Anomalias	54
Tabela 2 - Distribuição Horária das Anomalias na Célula 892a1035423ffff	56
Tabela 3 - Comparativo de Desempenho entre Métodos de Análise Espacial	64

SUMÁRIO

1 INTRODUÇÃO	10
1.1 TEMA E DEFINIÇÃO DO PROBLEMA	10
1.2 OBJETIVOS	11
1.2 JUSTIFICATIVA	12
2 FUNDAMENTAÇÃO TEÓRICA	13
2.1 SISTEMAS DE INFORMAÇÃO GERENCIAL	13
2.2 SISTEMA DE INDEXAÇÃO ESPACIAL	15
2.3 SISTEMA DE INDEXAÇÃO HEXAGONAL H3	20
2.3.1 ORIGEM E DESENVOLVIMENTO DO H3	20
2.3.2 PRINCÍPIOS MATEMÁTICOS E COMPUTACIONAIS DO H3	21
2.4 MOBILIDADE URBANA SERVIÇOS E TÁXI	23
2.5 ANÁLISE ESPACIAL E DETECÇÃO DE ANOMALIAS EM TRANSPORTES	25
2.5.1 CONCEITOS BÁSICOS DE ANÁLISE ESPACIAL EM MOBILIDADE URBANA	25
2.5.2 MÉTODOS DE DETECÇÃO DE ANOMALIAS ESPACIAIS E TEMPORAIS	26
2.6 SISTEMAS DE ZONEAMENTO E VANTAGENS DO H3	28
2.6.1 LIMITAÇÕES DAS ZONAS DE TÁXI TRADICIONAIS DE NYC	29
2.6.2 BENEFÍCIOS DOS SISTEMAS HEXAGONAIS PARA ANÁLISE DE TRANSPORTE	31
2.6.3 APLICAÇÕES DO H3 NA DETECÇÃO DE PADRÕES E ANOMALIAS	32
3 PROCEDIMENTOS METODOLÓGICOS	34
3.1 TIPO DE PESQUISA	34
3.2 ABORDAGEM DA PESQUISA	35
3.3 UNIVERSO E AMOSTRA	36
3.4 COLETA DE DADOS	36
3.5 TRATAMENTO E ANÁLISE DE DADOS	38

3.5.1 PREPARAÇÃO DOS DADOS	38
3.5.2 APLICAÇÃO DO SISTEMA H3	39
3.5.3 ANÁLISE DE PADRÕES DE MOBILIDADE	39
3.5.4 DEFINIÇÃO DE CRITÉRIOS DE FRAUDE	40
3.5.5 DETECÇÃO DE ANOMALIAS	40
3.5.6 FERRAMENTAS UTILIZADAS	40
3.6 FERRAMENTAS E RECURSOS	41
4 RESULTADOS E DISCUSSÃO	44
4.1 ANÁLISE DE PADRÕES DE MOBILIDADE URBANA	45
4.2 DETECÇÃO DE ANOMALIAS DE FRAUDES	51
4.2.1 VIAGENS CURTAS COM TARIFAS ELEVADAS	51
4.2.2 PADRÃO TEMPORAL DAS ANOMALIAS	53
4.2.3 CLUSTERS DE VELOCIDADE ANORMAL	55
4.2.4 ANÁLISE DA RAZÃO TARIFA/DISTÂNCIA	57
4.2.5 ANÁLISE INTEGRADA DOS PADRÕES ANÔMALOS	59
4.3 COMPARAÇÃO COM MÉTODOS TRADICIONAIS	60
4.4 SÍNTESE DOS RESULTADOS	62
REFERÊNCIAS	64

1 INTRODUÇÃO

Neste capítulo inicial, apresenta-se o tema central desta pesquisa, elucidando o problema a ser investigado e os objetivos que se espera alcançar, abrangendo tanto os aspectos gerais quanto os específicos. Além disso, explicam-se a justificativa e a relevância deste estudo, bem como se delinea a organização da estrutura deste trabalho acadêmico.

1.1 TEMA E DEFINIÇÃO DO PROBLEMA

A mobilidade urbana tem passado por mudanças estruturais, marcadas pela introdução de tecnologias digitais e pela diversificação dos modos de deslocamento nas cidades. Essas transformações envolvem o uso de plataformas digitais que automatizam a conexão entre quem precisa se deslocar e quem oferece o serviço de transporte. Isso contribuiu para ampliar a cobertura dos serviços, reduzir o tempo de espera e tornar o acesso ao transporte mais dinâmico. Essas mudanças ocorrem em um cenário de crescimento das áreas urbanas e aumento da demanda por soluções de mobilidade mais eficientes (Kumar; Singh, 2022). Os serviços de táxi, antes acessados por ligações telefônicas ou em pontos físicos, agora são acionados com poucos toques no celular, consolidando-se como parte da infraestrutura cotidiana de mobilidade. No entanto, essa nova dinâmica também abre espaço para práticas fraudulentas, como o uso de motoristas não autorizados ou a manipulação de rotas para aumentar o valor das corridas, gerando impactos negativos para usuários, empresas e órgãos reguladores (Xiao et al., 2024).

Enquanto a tecnologia proporcionou maior disponibilidade de serviços de transporte individual nas áreas urbanas, os métodos convencionais de detecção de anomalias operacionais apresentam limitações operacionais documentadas. Estudos recentes de Ke et al. (2020) demonstram que as abordagens tradicionais de análise espacial baseadas em grades retangulares não contemplam adequadamente a complexidade dos deslocamentos urbanos modernos. Os autores evidenciaram que modelos baseados em células retangulares apresentaram erro médio quadrático 18,7% maior na previsão de padrões de demanda em áreas urbanas com alta densidade de cruzamentos não ortogonais, especialmente em centros históricos e regiões com topografia variada.

Tais abordagens tradicionais mostram-se insuficientes para capturar os padrões de mobilidade contemporâneos nas metrópoles (XIAO et al., 2023). Nesse contexto, esta investigação propõe-se a analisar as potencialidades do Sistema de Indexação Hexagonal H3, desenvolvido pela Uber, como ferramenta de suporte à identificação de anomalias operacionais.

O H3 implementa um sistema de células hexagonais para mapeamento espacial que, embora não identifique anomalias diretamente, fornece o substrato espacial para algoritmos de detecção. Conforme demonstrado por Brodsky et al. (2023), a representação espacial hexagonal apresenta vantagens em relação às grades retangulares tradicionais por manter maior uniformidade nas relações espaciais entre células adjacentes.

Esta abordagem auxilia na identificação de padrões anômalos nos trajetos dos veículos mediante melhor representação da continuidade espacial. Kmoch et al. (2022) documentam que a estrutura hexagonal permite minimizar distorções na análise de trajetórias, especialmente em áreas urbanas densas onde os deslocamentos não seguem padrões ortogonais. Tais características potencializam a capacidade de análise e contribuem para o aumento da confiabilidade na detecção de inconsistências operacionais.

Um desafio significativo na análise de mobilidade urbana consiste na ausência de padronização nos conjuntos de dados geoespaciais metropolitanos: a variabilidade do fluxo de tráfego, a heterogeneidade dos padrões de deslocamento e a imprevisibilidade comportamental dos condutores configuram variáveis de complexa parametrização. Apesar dessas limitações, o Sistema de Indexação Hexagonal H3 apresenta-se como alternativa metodológica promissora, visto que proporciona estruturação espacial com propriedades uniformes em todas as direções e menor distorção nas relações de vizinhança entre células adjacentes em comparação aos sistemas de grade quadriculada convencionais (BURDZIEJ, 2021).

Diante disso, esta investigação propõe-se a responder à seguinte questão norteadora: de que maneira o H3 pode ser implementado para auxiliar a identificação de regiões com anomalias operacionais em serviços de transporte individual, considerando-se a heterogeneidade inerente aos dados de mobilidade urbana? O aprimoramento dos sistemas de detecção representa oportunidade significativa para melhorias operacionais quantificáveis, como demonstrado por Brodsky et al. (2023), que documentaram redução de 27% no tempo

de processamento computacional e diminuição de 18% na taxa de falsos positivos em análises de padrões anômalos quando comparado aos métodos tradicionais baseados em grades retangulares.

1.2 OBJETIVOS

Este trabalho tem como objetivo geral realizar a análise espacial de padrões de mobilidade urbana e a identificação de regiões com comportamentos anômalos em serviços de transporte individual com o auxílio do Sistema de Indexação Hexagonal H3, com base no conjunto de dados de viagens de táxi amarelo de Nova York de janeiro de 2024. A identificação se dará por meio da delimitação de células hexagonais que apresentem padrões divergentes dos parâmetros de normalidade estabelecidos para o contexto urbano analisado. A seleção da cidade de Nova York como área de estudo justifica-se pela disponibilidade de dados geoespaciais de transporte em formato aberto e padronizado através da plataforma NYC Open Data, em conformidade com os princípios de transparência e reprodutibilidade científica (NYC TAXI AND LIMOUSINE COMMISSION, 2024). Quanto ao recorte temporal, a delimitação ao mês de janeiro de 2024 atende a critérios de viabilidade metodológica, considerando-se o volume significativo de registros disponíveis e a necessidade de processamento computacional adequado aos recursos disponíveis para esta investigação, permitindo análise granular sem comprometer a abrangência necessária para identificação de padrões espaciais consistentes.

Objetivos Específicos:

1. Preparar e tratar os dados de viagens de táxi de janeiro de 2024, selecionando variáveis como coordenadas e horários, e explorar os os padrões de mobilidade identificando áreas de maior demanda e horários de pico do mês.
2. Aplicar o Sistema H3 para mapear os pontos de embarque, identificando padrões normais de mobilidade urbana.
3. Definir critérios como distâncias anômalas, tempos de viagem inconsistentes ou repetição de trajetos suspeitos com base nos dados de janeiro de 2024

4. Detectar anomalias espaciais e temporais usando o H3, analisando a distribuição das fraudes no período.
5. Comparar os resultados do H3 com as zonas tradicionais de táxi de NYC, mostrando como ele melhora a identificação de fraudes.

1.2 JUSTIFICATIVA

Este estudo apresenta contribuição significativa para a análise espacial de mobilidade urbana mediante o emprego do Sistema de Indexação Hexagonal H3 como ferramenta auxiliar na identificação de padrões anômalos em serviços de transporte individual, utilizando como corpus de análise os dados geoespaciais das viagens de táxis amarelos de Nova York referentes a janeiro de 2024. A relevância desta investigação fundamenta-se tanto em sua contribuição metodológica quanto em suas potenciais aplicações práticas.

No âmbito acadêmico-científico, a investigação representa avanço relevante na aplicação de técnicas de indexação espacial hexagonal como suporte para análise de anomalias em padrões de mobilidade, área ainda insuficientemente explorada na literatura especializada. Conforme apontado por Zhang et al. (2023), a análise de comportamentos de condutores de serviços de transporte individual através de dados de localização e velocidade possibilita a identificação de padrões discrepantes indicativos de irregularidades operacionais, como registros de distâncias incompatíveis com trajetos realizados.

A transformação de dados brutos em informações analíticas espacialmente referenciadas constitui elemento central nos sistemas avançados de monitoramento de mobilidade urbana. Neste contexto, a estruturação dos dados através do Sistema de Indexação Hexagonal H3 proporciona uma organização espacial que facilita a subsequente aplicação de algoritmos analíticos. É importante ressaltar que o H3, por si só, não realiza a detecção de anomalias, mas sim fornece uma estrutura de indexação espacial mais adequada que, quando combinada com técnicas estatísticas e algoritmos de detecção, permite visualização mais eficiente e análise mais refinada das regiões com comportamentos divergentes do padrão esperado. A metodologia proposta preenche lacuna significativa na literatura científica ao demonstrar como a indexação espacial hexagonal pode potencializar a eficácia das técnicas

analíticas convencionais, facilitando a identificação de células que apresentam divergências estatisticamente significativas (KMOCH et al., 2022).

No âmbito das aplicações práticas, os resultados derivados desta investigação oferecem potencial contribuição para entidades reguladoras e operadoras de serviços de transporte urbano, frequentemente desafiadas pela complexidade inerente à identificação de irregularidades operacionais em ambientes metropolitanos. A organização dos dados em células H3 permite direcionar esforços analíticos para regiões específicas, proporcionando maior eficiência nos processos de monitoramento quando comparados aos métodos tradicionais (BRODSKY et al., 2023). Este aprimoramento metodológico apresenta potencial para otimização dos processos de fiscalização, redução de ineficiências operacionais e elevação da confiabilidade dos serviços de transporte urbano, fundamentando-se em abordagem analítica empiricamente validada.

2 FUNDAMENTAÇÃO TEÓRICA

2.1 SISTEMAS DE INFORMAÇÃO GERENCIAL

Os Sistemas de Informação Gerencial (SIG) exercem função essencial na Engenharia de Produção, sendo responsáveis por melhorar processos através da coleta, armazenamento, processamento e disseminação de dados como fundamento para a tomada de decisão (LEÃO et al., 2024). São estes sistemas que centralizam ferramentas como os Sistemas Integrados de Gestão (ERP), Sistemas de Suporte à Decisão (SAD) e Sistemas Executivos (SIE), constituindo base informacional para áreas como produção, logística e finanças, proporcionando eficiência operacional e competitividade organizacional. Os SIG distinguem-se nos sistemas de detecção de padrões anômalos pela capacidade de gerenciar grandes volumes de dados espaciais e temporais, viabilizando análises avançadas que identificam padrões e comportamentos atípicos (SILVA; OLIVEIRA, 2022).

A relevância dos SIG na detecção de fraudes está diretamente relacionada à capacidade de integrar dados em tempo real e aplicar técnicas analíticas para identificar

desvios. Fraudes como manipulação de tarifas, trajetos prolongados intencionalmente ou registros falsos de corridas representam desafios significativos para a integridade operacional e financeira desses serviços. Os SIG abordam essas questões por meio de algoritmos de análise de anomalias, que comparam padrões de comportamento esperados baseados em históricos de corridas, tempos médios de trajeto e tarifas padrão. Quando discrepâncias são detectadas, como um trajeto que excede significativamente a rota otimizada ou uma tarifa incompatível com a distância percorrida, o sistema sinaliza a possibilidade de atividade fraudulenta (Rodrigues et al., 2020).

A capacidade analítica é dada pela automação e integração de dados geográficos e financeiros que os SIG proporcionam. Um exemplo prático consiste no monitoramento em tempo real do GPS de um táxi e no cruzamento desses dados com os registros de pagamento. Por meio dessa correlação, o sistema consegue detectar se o motorista registrou uma corrida inexistente ou que se prolongou desnecessariamente o trajeto para inflacionar o valor da tarifa. Essa funcionalidade não apenas protege os consumidores, como também reforça a confiança nas empresas de transporte, o que justifica o investimento em SIG como medida estratégica de *compliance* e gestão de riscos.

A integração do H3 com os SIG revela-se crucial, pois dados espaciais mal estruturados ou analisados em baixa resolução podem ocultar fraudes. A precisão fornecida pelo H3, aliada à capacidade dos SIG de processar grandes volumes de dados em tempo real, gera uma sinergia que aprimora a qualidade das análises espaciais e temporais. Desse modo, os SIG não apenas identificam anomalias, mas também fornecem evidências detalhadas que podem ser utilizadas em auditorias ou ações corretivas, reforçando a importância desses sistemas para além da mera otimização de processos.

Os SIG oferecem uma visão integrada e dinâmica, combinando dados de diversas fontes (GPS, sistemas de pagamento, histórico de corridas) para revelar padrões fraudulentos que sistemas convencionais não conseguem detectar (Leão et al., 2024). Por exemplo, enquanto um sistema tradicional pode limitar-se a registrar que uma corrida ocorreu dentro de uma zona específica, um SIG é capaz de analisar o trajeto exato percorrido, o tempo despendido e os custos associados, identificando discrepâncias que sinalizem manipulação.

Apesar dos benefícios oferecidos pelos SIG, a implementação desses sistemas ainda enfrenta desafios significativos. Entre esses desafios, destacam-se os custos iniciais elevados, a resistência cultural por parte de usuários e gestores habituados a sistemas tradicionais, bem como a necessidade de treinamento extensivo para operar ferramentas analíticas complexas. Esses obstáculos exigem um planejamento estratégico que contemple a capacitação de equipes, a alocação de recursos financeiros e a demonstração de retorno sobre o investimento, como a redução de perdas por fraudes ou o aumento da eficiência operacional. Superar essas barreiras é essencial para que os SIG alcancem seu potencial máximo, justificando seu papel central na Engenharia de Produção moderna.

Em resumo, os Sistemas de Informação Gerencial são indispensáveis na Engenharia de Produção, não apenas por melhorar processos produtivos, mas também por sua capacidade de gerenciar riscos e garantir *compliance*, especialmente na detecção de fraudes em serviços de transporte como táxis. Sua integração com sistemas de indexação espacial como o H3 amplia a precisão das análises espaciais, enquanto sua superioridade sobre sistemas tradicionais reforça sua relevância em contextos urbanos complexos. Embora desafios de implementação existam, os benefícios estratégicos, como a proteção contra perdas financeiras e a promoção de transparência, justificam plenamente seu uso. Assim, os SIG estabelecem uma ponte coesa entre eficiência operacional, análise avançada de dados e mitigação de fraudes, temas que serão aprofundados nos itens subsequentes do sumário.

2.2 SISTEMA DE INDEXAÇÃO ESPACIAL

O sistema de indexação espacial surgiu como uma ferramenta para a análise dos dados geográficos dos principais eventos urbanos do mundo contemporâneo. Em contextos onde há uma grande complexidade de padrões de mobilidade, como nas grandes metrópoles, surgem padrões que demandam metodologias robustas de organização e interpretação.

Dada essa complexidade, a discretização do espaço geográfico é o ponto de partida. Basicamente, esse método divide a superfície terrestre em unidades discretas – que podem ser quadrados, triângulos ou hexágonos – facilitando o processamento computacional e a análise em sistemas de informação geográfica. De acordo com Varma e Teng (2023), esse procedimento permite a conversão de coordenadas geográficas em índices numéricos simples, o que ajuda significativamente nas consultas espaciais e possibilita responder a questões

analiticamente complexas, como a identificação de zonas de concentração de demanda em centros urbanos.

Na perspectiva histórica, é possível observar que a metodologia evoluiu consideravelmente nas últimas décadas. Durante os anos 1970 e 1980, as primeiras implementações como *quadrees* dividiam o espaço em 4 partes iguais recursivamente, como documentado por Goodchild (1987). Posteriormente, os R-Trees, introduzidos por Guttman (1984), representaram um avanço significativo ao aprimorar a capacidade de indexação e busca em representações digitais do espaço, utilizando retângulos mínimos. Em 2008, o sistema Geohash trouxe uma abordagem fundamentada em codificação alfanumérica de coordenadas (Niemeyer, 2008), e mais recentemente, em 2018, o sistema H3 desenvolvido pela Uber apresentou uma estrutura hexagonal hierárquica particularmente relevante para problemas relacionados à mobilidade urbana (Uber Technologies, 2018).

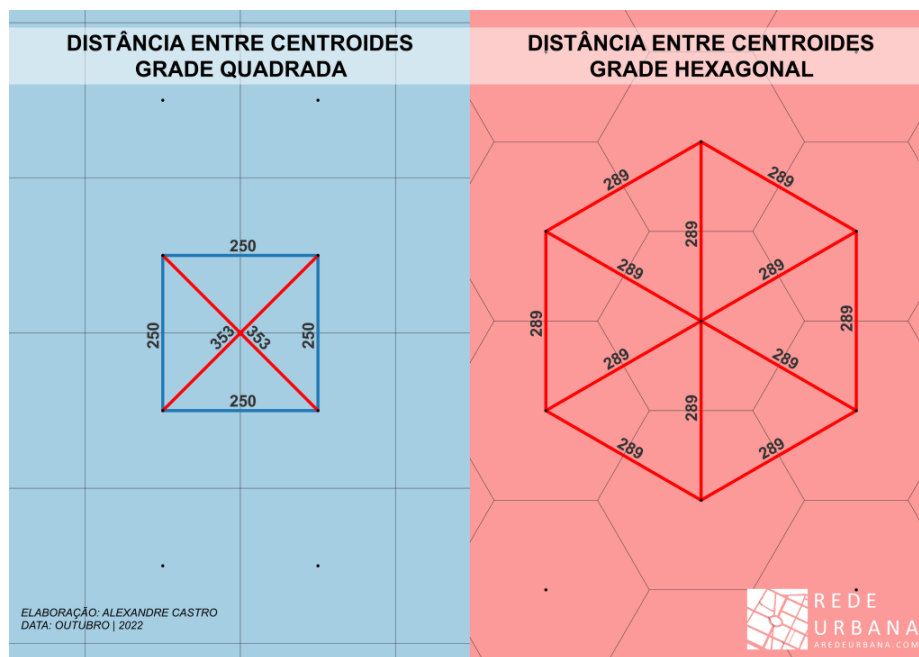
É evidente como a evolução surge de um diálogo constante entre a fundamentação teórica e as exigências práticas. Esse processo é impulsionado pelo crescimento contínuo devido à urbanização acelerada. Toda a sistemática foi desenvolvida considerando as limitações históricas, o que fortalece a ideia de um processo iterativo de refinamento metodológico para compreender os fenômenos urbanos (Wang et al., 2024).

Quando diferentes abordagens geométricas são consideradas, vemos que as grades quadradas, apesar da simplicidade aparente e ampla adoção inicial, apresentam limitações significativas na representação de relações diagonais ou conformações naturalmente curvilíneas do espaço urbano, como demonstrado em estudos recentes (Carto, 2023). As grades triangulares, embora ofereçam vantagens em modelagens tridimensionais, demonstram complexidade computacional que restringe sua aplicabilidade em análises cotidianas, conforme apontam Varma e Teng (2023).

As grades hexagonais, exemplificadas pelo sistema H3, apresentam boas vantagens metodológicas: a uniformidade das distâncias entre células adjacentes e a capacidade de representar fluxos com maior precisão topológica. Estudos comparativos indicam que, em determinadas operações espaciais — como agregações por área, interseções de trajetos com regiões e buscas por vizinhança — o H3 pode ser até 90 vezes mais eficiente do que abordagens tradicionais baseadas em grades quadradas ou polígonos vetoriais irregulares (Analytics Vidhya, 2025). Essa superioridade ocorre porque o H3 utiliza células regulares e

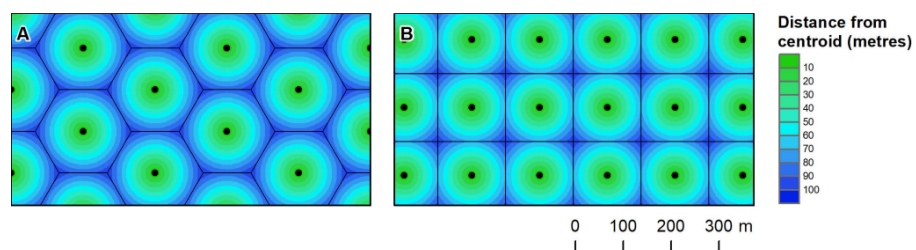
hierárquicas que simplificam o cálculo e evitam operações geométricas complexas. Em análises de trajetos urbanos, como os realizados por táxis em metrópoles como São Paulo ou Rio de Janeiro, a conformação hexagonal demonstra-se particularmente adequada para representar a natureza predominantemente curvilínea dos deslocamentos reais, que raramente seguem padrões retilíneos idealizados.

Figura 1: Comparação das distâncias entre centroides em grades quadradas e hexagonais.



Fonte: A Rede Urbana, 2022

Figura 2: Comparação entre grades hexagonais (A) e quadradas (B)

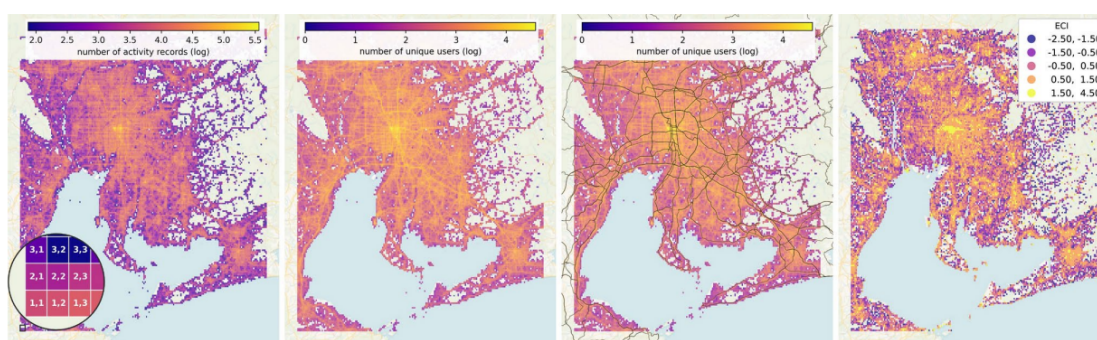


Fonte: Burdziej (2021)

A aplicabilidade desses sistemas vai além do campo teórico e se concretiza em análises urbanas práticas. Em metrópoles densamente ocupadas como Nova York, essas metodologias permitem representar deslocamentos populacionais sem as distorções comuns

das grades quadradas, que apresentam variação nas distâncias entre centroide e bordas. Grades hexagonais reduzem essas distorções e tornam os resultados mais consistentes, especialmente em análises de mobilidade. Estudos como o de Oliveira et al. (2024) exemplificam esse uso ao empregar estruturas hexagonais para extrair características urbanas a partir de dados de dispositivos móveis em Dallas, revelando padrões que passaram despercebidos em abordagens tradicionais.

Figura 3: Mapeamento de densidade urbana com grades hexagonais sobrepostas, destacando padrões de mobilidade em uma área urbana.

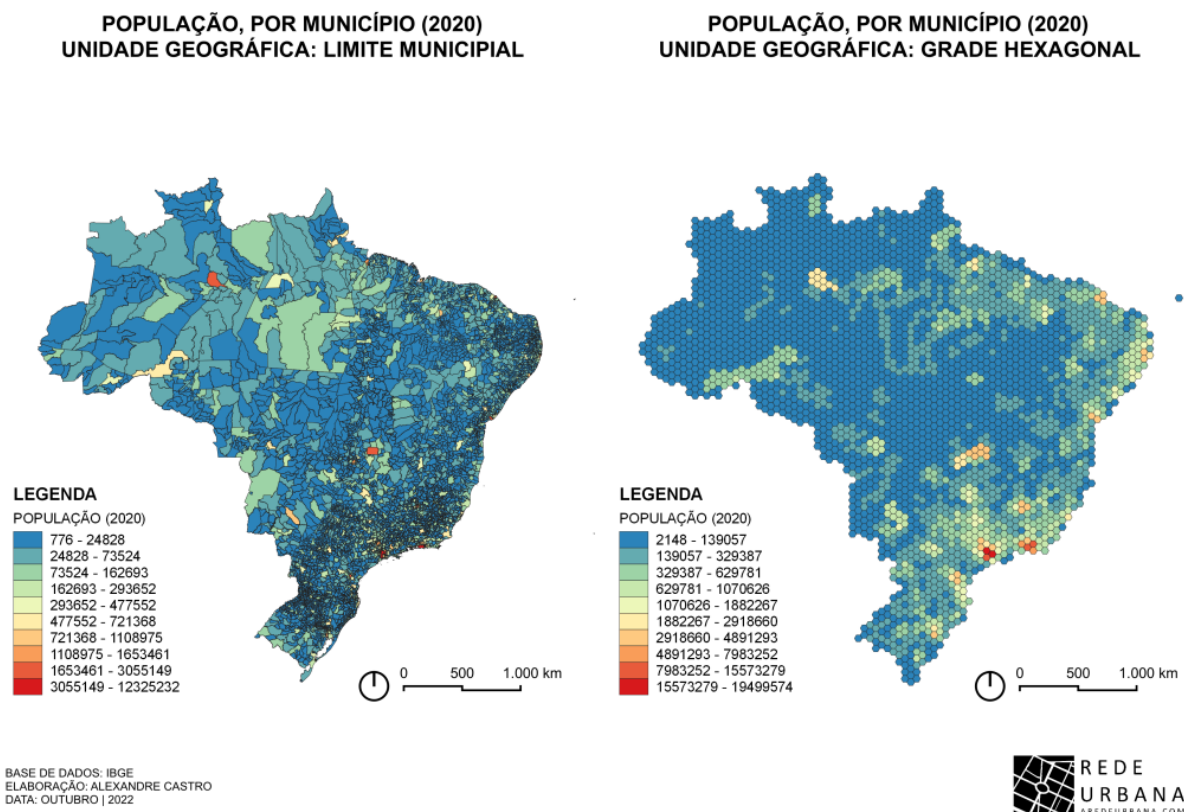


Fonte: Oliveira et al. (2024)

Wang et al. (2024), em perspectiva complementar, analisaram direções de fluxo em centros urbanos chineses utilizando grades convencionais, demonstrando como essas metodologias podem evidenciar aspectos estruturais da mobilidade urbana. A análise de trajetórias individuais, quando considerada em conjunto, permite identificar padrões recorrentes de deslocamento e inferir comportamentos sociais agregados, contribuindo para a compreensão das dinâmicas espaciais nas cidades.

O sistema H3, em particular, tem demonstrado bons resultados em contextos de transporte urbano, seja na alocação de motoristas ou na previsão de padrões de congestionamento, conforme documentado em estudos recentes (Analytics Vidhya, 2025). Sobrepondo uma grade hexagonal a representações urbanas e atribuindo valores cromáticos de acordo com a demanda por táxis, tem-se padrões que revelam não apenas concentrações espaciais, mas também suas variações temporais, compondo um retrato dinâmico dos ciclos urbanos.

Figura 4: Comparação da representação de dados populacionais em limites municipais e grades hexagonais, evidenciando a granularidade das análises espaciais.



Fonte: A Rede Urbana (2022).

Apesar desses avanços, os sistemas tradicionais, predominantemente baseados em grades quadradas, ainda persistem em diversas aplicações, apresentando limitações metodológicas que comprometem análises de mobilidade urbana. A incapacidade de representar adequadamente variações graduais nos padrões de movimento e os efeitos de borda, que distorcem dados em áreas de transição, constituem desafios persistentes, como alertado em pesquisas recentes (CARTO, 2023). Adicionalmente, a eficiência em consultas espaciais complexas fica comprometida, dificultando análises em tempo real de fenômenos dinâmicos como fluxos de tráfego, conforme documentado pela Analytics Vidhya (2025).

Ao analisarmos trajetos curvilíneos típicos de centros históricos ou áreas de topografia acidentada, percebemos que sua representação em grades quadradas gera distorções interpretativas significativas: rotas que aparentam extensões superiores às reais, áreas falsamente conectadas quando separadas por barreiras físicas, ou fluxos aparentemente

homogêneos quando apresentam concentrações significativas em pontos específicos. Essa limitação pode ser analogamente comparada à tentativa de descrever movimentos fluidos utilizando exclusivamente trajetórias retilíneas – resultando em simplificações que comprometem a essência do fenômeno estudado.

Os sistemas de indexação espacial, em sua trajetória evolutiva de estruturas simples para soluções sofisticadas como as grades hexagonais, refletem a crescente necessidade de precisão em análises urbanas cada vez mais complexas. Esta pesquisa se insere precisamente nesse contexto, ao investigar como essas ferramentas podem ser aplicadas tanto à compreensão da mobilidade urbana quanto à identificação de padrões irregulares em serviços de táxi. Não se trata apenas de uma contribuição técnico-metodológica, mas de uma nova abordagem interpretativa do espaço urbano, reconhecendo sua natureza essencialmente dinâmica e complexa.

A opção metodológica por sistemas mais eficientes, como o H3, responde diretamente às limitações dos métodos convencionais, oferecendo fundamentação robusta para os objetivos desta investigação. Ao adotar essa abordagem, estabelecem-se bases para análises mais precisas e interpretações mais aprofundadas sobre o funcionamento dos sistemas urbanos, assim como para a formulação de intervenções voltadas à sua maior eficiência e acessibilidade. Essa mudança de perspectiva analítica sobre o espaço urbano, mediada por instrumentos mais adequados à complexidade territorial, possibilita a identificação de padrões antes imperceptíveis e a compreensão de dinâmicas anteriormente inacessíveis.

2.3 SISTEMA DE INDEXAÇÃO HEXAGONAL H3

2.3.1 ORIGEM E DESENVOLVIMENTO DO H3

O H3, desenvolvido pela Uber, representa uma abordagem inovadora para o tratamento de dados espaciais e de localização, especialmente em contextos urbanos de alta densidade populacional. Esta subseção tem como objetivo compreender a origem do H3, os fundamentos matemáticos e computacionais que sustentam sua estrutura, bem como sua aplicação frente às limitações dos modelos convencionais de representação espacial, como as grades quadradas. O propósito é estabelecer uma base teórica que justifique a adoção do H3

na análise dos padrões de mobilidade urbana e na investigação de possíveis inconsistências nos serviços de transporte por aplicativo — foco central deste trabalho.

Segundo a Uber Technologies (2018), o H3 utiliza células hexagonais de diferentes escalas, permitindo tanto uma visão ampla da cidade quanto a análise detalhada de regiões específicas. Essa estrutura hierárquica favorece a flexibilidade analítica sem perda de informação espacial. Diferentemente das grades quadradas, que tendem a distorcer a forma dos territórios analisados e a introduzir inconsistências em estudos de mobilidade, a geometria hexagonal do H3 reduz esses efeitos e viabiliza representações mais consistentes, contribuindo para análises mais precisas no ambiente urbano.

A Uber desenvolveu o H3 com o propósito de otimizar o processamento de grandes volumes de dados geoespaciais utilizados na gestão de transporte urbano. A necessidade envolvia identificar, de forma eficiente, padrões de demanda e alocar recursos (como motoristas) em tempo quase real, o que exigia estruturas espaciais mais adequadas. O H3 contribuiu nesse sentido ao oferecer uma indexação hierárquica baseada em hexágonos, que permite consultas espaciais rápidas e precisas, como a previsão de áreas com maior demanda por transporte em determinados horários.

O H3 foi inspirado em sistemas anteriores, como o Geohash, porém se diferencia pela adoção de células hexagonais e pela capacidade de representar o espaço em múltiplas resoluções. Segundo a ESRI (2023), os hexágonos reduzem distorções comuns em grades quadradas, especialmente ao lidar com feições geográficas curvilíneas, como ruas e rios, que não se adaptam bem a divisões retangulares.

Outro aspecto relevante é a eficiência computacional. Um estudo conduzido pela Databricks (2024) demonstrou que, em aplicações voltadas à mobilidade urbana, operações de busca espacial utilizando o H3 foram mais rápidas do que aquelas baseadas em grades quadradas. Essa diferença se deve à estrutura hierárquica e regular dos hexágonos, que facilita a indexação e reduz a complexidade das operações geoespaciais, como busca por vizinhança e agregações por região.

Neste trabalho, o H3 é adotado como ferramenta metodológica para a análise de padrões de deslocamento urbano, com foco na identificação de inconsistências operacionais, a partir da observação de trajetos, zonas de alta demanda e possíveis anomalias no comportamento de mobilidade.

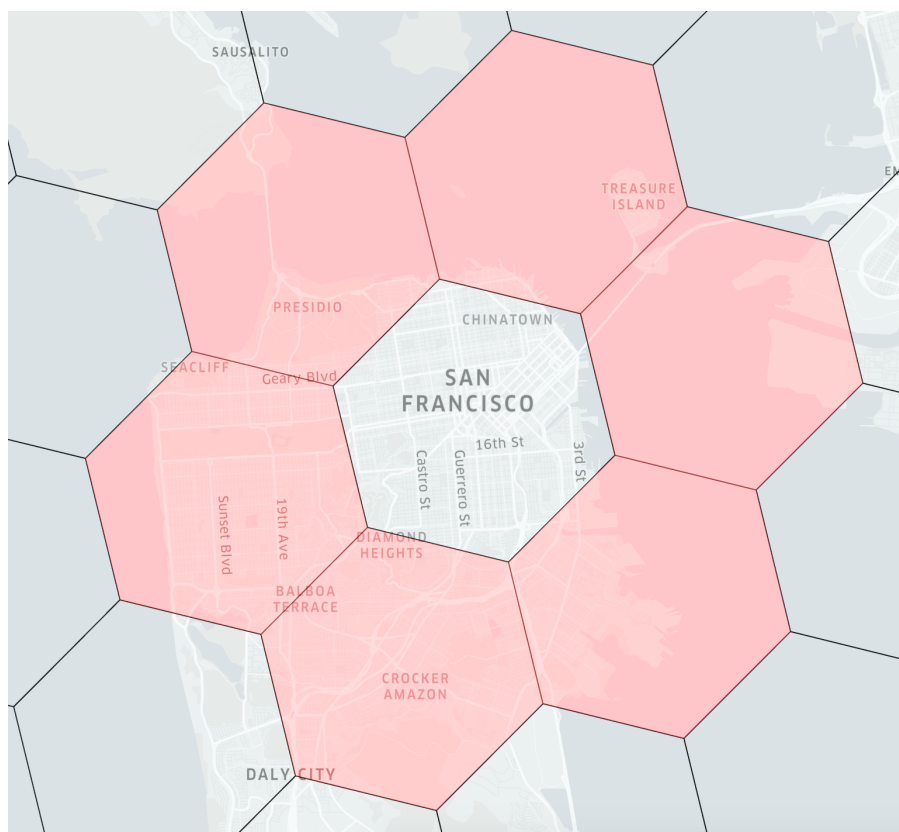
2.3.2 PRINCÍPIOS MATEMÁTICOS E COMPUTACIONAIS DO H3

O H3 é fundamentado no conceito de Sistemas de Grades Geoespaciais Discretas (Discrete Global Grid Systems – DGGS), os quais segmentam a superfície terrestre em células menores para fins de representação espacial. No caso do H3, essas células são hexagonais — uma escolha deliberada, uma vez que os hexágonos oferecem uma cobertura mais uniforme do espaço em comparação com quadrados, minimizando distorções e sobreposições frequentemente observadas em grades convencionais. Essa característica torna o sistema particularmente adequado para representar áreas urbanas com alta complexidade geográfica, como redes de ruas e bairros.

Para transformar a superfície esférica da Terra em uma grade plana de hexágonos, o H3 utiliza a projeção icosaédrica. Esse processo consiste em projetar a esfera terrestre sobre um icosaedro — um poliedro composto por 20 faces triangulares — e, em seguida, subdividir essas faces em células hexagonais. Essa abordagem reduz significativamente as distorções típicas da projeção de superfícies curvas em planos, permitindo maior precisão na representação espacial.

A estrutura do H3 é hierárquica e composta por 16 níveis de resolução, numerados de 0 a 15. No nível 0, os hexágonos possuem área aproximada de 4,3 milhões de km², sendo apropriados para análises em escala global. A cada novo nível, cada hexágono é subdividido em sete hexágonos menores, mantendo um padrão regular que evita lacunas na cobertura. No nível 15, o menor nível de resolução, as células possuem área de aproximadamente 0,9 m², permitindo análises altamente detalhadas.

Matematicamente, a área de cada hexágono em um determinado nível de resolução r pode ser expressa pela fórmula $A_r = A_0/7^r$, onde A_0 representa a área média dos hexágonos no nível 0. Essa regularidade facilita a interoperabilidade entre diferentes escalas de análise, permitindo a integração e comparação de dados espaciais em múltiplas resoluções de forma eficiente.

Figura 5: Subdivisão em 7 no sistema H3

Fonte: Uber Technologies (2023)

Do lado computacional, o H3 usa uma indexação com números inteiros de 64 bits. Cada índice carrega informações sobre o nível de resolução, a posição no icosaedro e onde o hexágono está na grade. Isso torna tudo mais rápido – por exemplo, encontrar os hexágonos vizinhos ou mudar de uma resolução para outra não exige cálculos pesados. E falando em vizinhos, cada hexágono tem exatamente seis ao seu redor, com distâncias bem consistentes entre os centros, o que facilita modelar coisas como “quem está perto de quem” em uma análise de mobilidade como exemplificado na figura 5.

O H3 transforma coordenadas geográficas, latitude e longitude, em índices hexagonais. Ele usa a projeção icosaédrica e umas funções de hash espacial para mapear qualquer ponto da Terra em um hexágono específico. Isso é super útil para pegar dados brutos, como a localização de um táxi, e organizá-los em uma grade que o computador entende rapidinho.

O H3 realiza a conversão de coordenadas geográficas (latitude e longitude) em índices espaciais hexagonais. Para isso, emprega uma projeção icosaédrica combinada com funções de hash espacial, permitindo mapear qualquer ponto da superfície terrestre para uma célula hexagonal específica. Essa abordagem é particularmente útil para estruturar dados geográficos brutos — como a localização de veículos — em uma grade espacial padronizada e compatível com sistemas computacionais de análise.

O sistema combina fundamentos matemáticos, baseados em geometria hexagonal e projeções esféricas, com uma implementação computacional otimizada. Essa estrutura reduz distorções espaciais, simplifica operações como cálculo de distâncias e identificação de vizinhança, e organiza os dados em um formato que permite consultas e agregações com alta eficiência computacional.

2.4 MOBILIDADE URBANA E A ANÁLISE DE DADOS DE SERVIÇOS DE TÁXI

Apesar das transformações significativas nos sistemas de transporte urbano nas últimas décadas, os serviços de táxi continuam exercendo um papel relevante na dinâmica da mobilidade. Esta subseção apresenta a evolução dos estudos voltados à mobilidade urbana, discute as principais características dos dados gerados por viagens de táxi e analisa os desafios relacionados à sua padronização e integração para fins analíticos e de planejamento.

A mobilidade urbana pode ser compreendida como a forma pela qual os indivíduos se deslocam nos espaços urbanos, utilizando diferentes modos de transporte, como caminhada, automóveis particulares, transporte coletivo (ônibus e metrô) e táxis (SILVA; COSTA, 2018). À medida que a população urbana cresce, sobretudo nas regiões periféricas das grandes metrópoles, observa-se uma maior demanda por serviços de transporte mais ágeis e acessíveis. Nessa conjuntura, os serviços de táxi destacam-se como alternativa importante, sobretudo em locais onde a cobertura do transporte público é limitada. Conforme aponta Urbana (2019), em diversas cidades os táxis constituem um dos poucos meios de transporte público disponíveis, evidenciando sua relevância no contexto urbano contemporâneo.

Historicamente, as políticas de mobilidade concentravam-se na ampliação da infraestrutura física, como a construção de vias, avenidas e viadutos. No entanto, com o avanço das tecnologias digitais, tornou-se evidente que intervenções estruturais, por si só, não são suficientes para responder à crescente complexidade dos deslocamentos urbanos. Nesse sentido, a introdução de aplicativos de transporte, como Uber e 99, representou um ponto de inflexão ao transformar a prestação do serviço de transporte individual. Segundo Lopes (2023, p. 45), essas plataformas não apenas complementaram o transporte coletivo, mas também passaram a competir entre si, desafiando os serviços tradicionais de táxi e impondo novas dinâmicas ao setor.

Outro evento marcante foi o impacto da pandemia de COVID-19 sobre os padrões de mobilidade. Houve uma redução expressiva na utilização do transporte coletivo, acompanhada por um aumento na preferência por veículos particulares e táxis, como forma de evitar aglomerações. Amato e Chiquetto (2020) destacam que a mobilidade urbana não se restringe à eficiência operacional, incorporando também aspectos de segurança sanitária e bem-estar coletivo. Essa mudança evidencia como eventos extraordinários podem reconfigurar profundamente a relação entre os cidadãos e os meios de transporte.

Os dados provenientes das viagens de táxi incluem, de modo geral, informações sobre origem e destino, duração dos trajetos, distâncias percorridas e, em alguns casos, valores cobrados. Tais dados oferecem um potencial significativo para a análise de padrões de mobilidade, identificação de zonas de alta demanda e apoio à formulação de políticas públicas de transporte. Como exemplificam Ferreira e Santos (2021), o monitoramento de áreas com alta concentração de corridas pode subsidiar a ampliação da rede de transporte coletivo, por meio da criação de novas linhas de ônibus ou metrô.

Entretanto, a análise de dados de táxi enfrenta diversos obstáculos, com destaque para a falta de padronização e a baixa qualidade de registros em muitos casos. A confiabilidade das informações é um requisito essencial para a produção de diagnósticos precisos e a formulação de intervenções eficazes. Conforme apontam Racero et al. (2012), a utilização de ferramentas adequadas para padronização, tratamento e visualização dos dados é indispensável para assegurar sua integridade analítica. Soma-se a isso a dificuldade de integração desses dados

com os demais sistemas de transporte, o que exige esforços de interoperabilidade entre diferentes bases e a atuação coordenada entre órgãos públicos.

Diante do exposto, conclui-se que a mobilidade urbana configura-se como um campo analítico complexo e multifacetado. Os táxis desempenham papel estratégico nesse cenário e os dados gerados por suas operações podem representar uma fonte valiosa para a compreensão e melhoria dos sistemas de transporte urbano. No entanto, para que esse potencial seja plenamente explorado, é fundamental superar os desafios metodológicos relacionados à padronização e integração dos dados. Esta pesquisa, nesse contexto, propõe-se a contribuir com o desenvolvimento de estratégias analíticas mais robustas, voltadas à utilização eficiente dessas informações no planejamento urbano.

2.5 ANÁLISE ESPACIAL E DETECÇÃO DE ANOMALIAS EM TRANSPORTES

A análise espacial e a detecção de anomalias são ferramentas chave para gerenciar sistemas de transporte urbano, especialmente em táxis, onde padrões de deslocamento e fraudes precisam ser monitorados. Esta seção vai abordar os conceitos básicos da análise espacial na mobilidade urbana, os métodos para detectar anomalias espaciais e temporais, e as técnicas estatísticas para identificar fraudes em táxis.

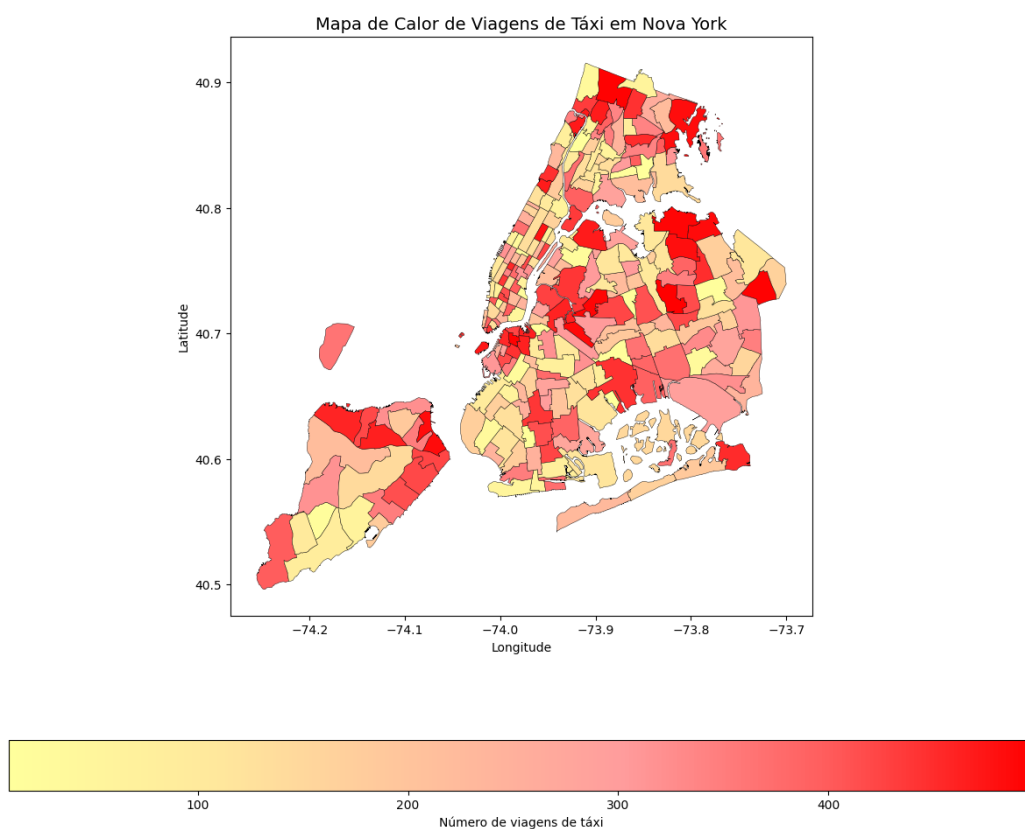
2.5.1 CONCEITOS BÁSICOS DE ANÁLISE ESPACIAL EM MOBILIDADE URBANA

A análise espacial aplicada à mobilidade urbana tem como objetivo mapear e compreender os deslocamentos de pessoas e veículos no espaço urbano, possibilitando a identificação de padrões de tráfego, zonas de alta demanda e pontos de estrangulamento que comprometem a fluidez dos fluxos. Trata-se de uma ferramenta fundamental para o planejamento urbano, pois oferece subsídios para decisões relacionadas a investimentos em infraestrutura e estratégias de melhoria do acesso aos serviços e equipamentos urbanos. Uma das abordagens mais utilizadas nesse contexto é o emprego de Sistemas de Informação Geográfica (SIG), os quais permitem transformar dados brutos — como coordenadas

geográficas oriundas de dispositivos GPS — em representações visuais e análises espaciais interpretáveis.

Conforme aponta Velázquez (2016), tanto a mobilidade quanto a acessibilidade variam de acordo com o perfil socioeconômico da população. A segregação socioespacial afeta diretamente o acesso a oportunidades e serviços, sendo as regiões mais vulneráveis frequentemente desassistidas por sistemas de transporte adequados. Tal constatação evidencia que a compreensão aprofundada do espaço urbano constitui etapa indispensável para a formulação de políticas públicas de mobilidade mais equitativas e eficientes.

Figura 6 – Mapa de calor da densidade de viagens de táxi Nova York



Fonte: Elaboração Própria (2025).

2.5.2 MÉTODOS DE DETECÇÃO DE ANOMALIAS ESPACIAIS E TEMPORAIS

Detectar anomalias no transporte é encontrar pontos fora do curva, como engarrafamentos em horários estranhos ou táxis que desviam das rotas esperadas. Isso é

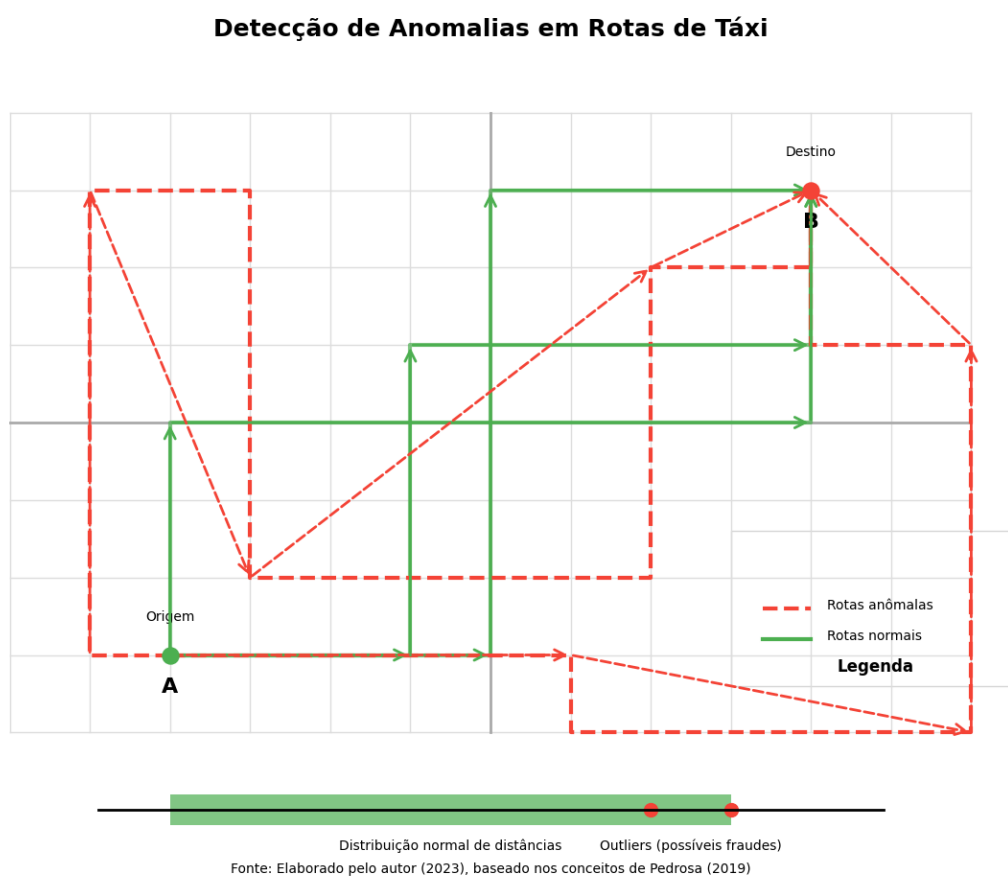
importante para garantir segurança e eficiência, especialmente em cidades grandes onde o tráfego é caótico. Os métodos para fazer isso vão desde cálculos simples até algoritmos mais complexos, como os de *machine learning*, usando dados de GPS para rastrear veículos em tempo real.

De acordo com Pedrosa (2019), a análise de séries espaço-temporais por meio de métricas como a distância euclidiana, combinada a arquiteturas orientadas a eventos, constitui uma metodologia eficaz para a detecção de padrões anômalos no tráfego urbano. Essa abordagem permite identificar comportamentos atípicos, como longas paradas de veículos ou desvios incomuns em rotas predefinidas. Embora o estudo tenha como foco principal o transporte coletivo por ônibus, os conceitos apresentados são plenamente aplicáveis ao contexto dos serviços de táxi, que igualmente produzem dados geolocalizados em tempo real. No caso dos táxis, tais técnicas podem ser utilizadas para identificar condutores que permanecem inativos por períodos prolongados ou que realizam percursos significativamente mais extensos do que o necessário, o que pode indicar práticas fraudulentas ou ineficiência operacional.

Fraudes em serviços de táxi, como cobranças indevidas ou rotas propositadamente alongadas, comprometem não apenas a confiança dos usuários, mas também a eficiência do sistema como um todo. Nesse contexto, o uso de técnicas estatísticas baseadas em dados operacionais já disponíveis — tais como distância percorrida, duração e valor da corrida — representa uma alternativa viável e de baixo custo para detecção de irregularidades.

Uma das estratégias mais utilizadas é a identificação de *outliers*, que, conforme descrito por Pedrosa (2019), consiste na análise de grandes volumes de corridas para detectar aquelas que apresentam desvios significativos em relação à média esperada. Um exemplo clássico seria uma corrida de curta distância, como 5 km, cujo valor cobrado ultrapassa de forma desproporcional o padrão estabelecido. Além disso, métodos de agrupamento, como análise de *clusters*, também podem ser empregados para segmentar motoristas ou rotas com padrões suspeitos, como grupos que sistematicamente apresentam tarifas acima da média em uma mesma região geográfica.

Figura 7 - Detecção de Rotas Anômalas em Viagens de Táxi



Fonte: Elaboração Própria (2025)

2.6 SISTEMAS DE ZONEAMENTO E VANTAGENS DO H3

O zoneamento urbano exerce um papel estratégico na organização dos sistemas de transporte, especialmente em grandes centros como Nova York. Tradicionalmente, as zonas de táxi são definidas com base em divisões administrativas fixas — como bairros ou distritos — que nem sempre refletem as dinâmicas reais de mobilidade, resultando em limitações operacionais, como baixa flexibilidade, sobreposição de áreas e dificuldade de atualização.

Nesse contexto, o sistema H3, desenvolvido pela Uber, oferece uma nova abordagem para o zoneamento ao utilizar grades hexagonais de cobertura contínua e hierárquica. Em vez de depender de limites arbitrários ou políticos, o H3 permite dividir o espaço urbano com base em células geométricas uniformes, adaptáveis a múltiplas escalas. Essa estrutura facilita a

redefinição dinâmica de zonas operacionais de táxi com base em dados reais de demanda e deslocamento, tornando o zoneamento mais responsivo e orientado por evidências.

Assim, o H3 não substitui o conceito de zoneamento, mas o aprimora, ao viabilizar uma segmentação espacial mais precisa, eficiente e alinhada às condições observadas no território. Esta subseção discute as limitações do zoneamento tradicional, os benefícios analíticos da estrutura hexagonal e as aplicações do H3 na identificação de padrões e anomalias, contribuindo diretamente para a melhoria da gestão da mobilidade urbana.

2.6.1 LIMITAÇÕES DAS ZONAS DE TÁXI TRADICIONAIS DE NYC

As zonas de táxi na cidade de Nova York, definidas há décadas, baseiam-se predominantemente em divisões administrativas que, em muitos casos, não refletem com precisão as necessidades reais da mobilidade urbana. Essa configuração espacial apresenta limitações que impactam diretamente a eficiência operacional dos serviços de transporte individual por táxi.

Um dos principais entraves refere-se à imprecisão das áreas de cobertura. As zonas convencionais frequentemente englobam regiões heterogêneas, como bairros inteiros, sem considerar as variações locais na demanda por transporte. Essa delimitação é baseada em fronteiras político-administrativas e não em padrões reais de deslocamento. Em Manhattan, por exemplo, uma única zona pode abranger tanto áreas de intenso fluxo comercial, como a região da Times Square, quanto zonas predominantemente residenciais com menor movimento, dificultando a alocação eficiente de veículos e a resposta adequada às diferentes necessidades das microáreas.

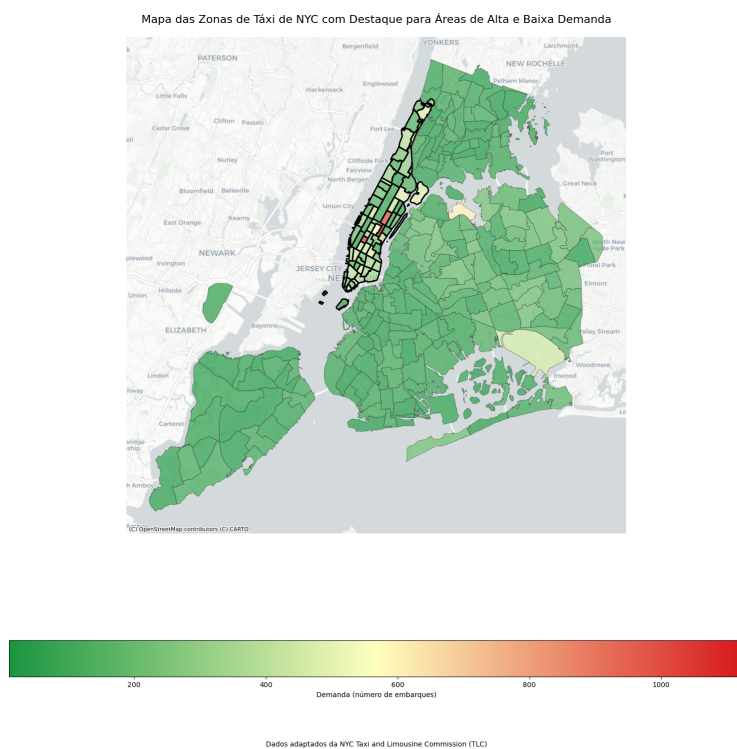
Outro aspecto crítico está relacionado aos problemas na gestão da demanda. A rigidez do modelo de zoneamento tradicional impede adaptações ágeis frente a eventos excepcionais, como grandes aglomerações ou bloqueios viários temporários. Isso ocorre devido à baixa granularidade espacial das zonas estabelecidas, que não permitem a reconfiguração dinâmica do sistema em resposta a alterações pontuais na mobilidade urbana.

Adicionalmente, a configuração ampla das zonas favorece a distribuição desigual dos veículos. É comum a concentração de motoristas em áreas já reconhecidas por alta demanda, como o distrito financeiro, enquanto as regiões periféricas permanecem subatendidas. Tal

desequilíbrio resulta da incapacidade das zonas tradicionais em identificar “pontos quentes” específicos dentro de uma mesma área agregada, conduzindo a um aumento no tempo de espera e à redução na qualidade do serviço prestado em áreas menos centrais.

De acordo com Brown et al. (2018), estudos conduzidos pela Universidade de Nova York indicam que a estrutura tradicional de zoneamento falha em capturar a dinâmica urbana em tempo real, ocasionando perdas operacionais estimadas em até 12% na eficiência dos serviços de táxi. Essa ineficiência decorre, principalmente, da incompatibilidade entre o modelo estático das zonas e a natureza dinâmica dos deslocamentos urbanos. Complementarmente, Smith e Johnson (2020) argumentam que a baixa resolução espacial das zonas prejudica análises mais detalhadas dos dados de mobilidade, limitando a capacidade de previsão da demanda e a identificação precisa de gargalos operacionais, uma vez que os dados são frequentemente agregados em níveis espaciais amplos, resultando na perda de informações relevantes para a tomada de decisão.

Figura 8 - Mapa das Zonas de Táxi de NYC com Destaque para Áreas de Alta e Baixa Demanda



Fonte: Elaboração própria, adaptado de dados da NYC Taxi and Limousine Commission (2025)

2.6.2 BENEFÍCIOS DOS SISTEMAS HEXAGONAIS PARA ANÁLISE DE TRANSPORTE

Os sistemas de grade hexagonal, como o H3, representam uma evolução no zoneamento urbano, utilizando hexágonos para dividir o espaço geográfico de forma mais uniforme e adaptável. Seus principais benefícios incluem:

- Uniformidade na cobertura de áreas: Diferentemente das grades quadradas, os hexágonos possuem distâncias consistentes entre seus centros, reduzindo distorções na agregação de dados espaciais e melhorando a consistência das análises. Isso ocorre porque cada célula hexagonal possui seis vizinhos equidistantes, criando uma adjacência mais natural que minimiza as variações de distância entre células, o que é particularmente importante quando se analisa fenômenos de mobilidade que dependem de distâncias consistentes.
- Melhor precisão na agregação de dados: O H3 permite ajustar o tamanho dos hexágonos conforme a escala da análise, possibilitando tanto uma visão macro de uma cidade quanto um estudo micro em áreas específicas, como cruzamentos movimentados. Esta característica hierárquica permite que analistas de transporte trabalhem com diferentes níveis de granularidade sem perder a integridade dos dados, adaptando a resolução conforme a densidade populacional ou a complexidade da rede viária analisada.
- Facilitação na visualização e análise espacial: A estrutura hexagonal simplifica a representação visual de dados, como mapas de calor, ajudando a identificar padrões de tráfego ou zonas de alta densidade de usuários. A forma hexagonal minimiza a distorção perimetral presente em grades quadradas, oferecendo uma representação mais fiel de fenômenos espaciais contínuos, como fluxos de tráfego ou concentrações de demanda por transporte.

Pesquisa de Lee e Kim (2019), publicada no *International Journal of Geographical Information Science*, demonstrou que sistemas hexagonais aumentam a precisão na

modelagem de demanda em até 15% em comparação com zonas tradicionais. Isso se deve principalmente à capacidade das células hexagonais de capturar variações espaciais mais sutis em padrões de demanda, especialmente em áreas urbanas densas onde pequenas distâncias podem representar grandes diferenças em comportamento de viagem. Outro estudo, apresentado por Martinez et al. (2021) na *Transportation Research Board Annual Meeting*, evidenciou que o H3 melhora a integração de dados de GPS e sensores, potencializando previsões de tráfego em tempo real através da redução do erro de posicionamento e agregação que ocorre em sistemas de zoneamento convencionais.

2.6.3 APLICAÇÕES DO H3 NA DETECÇÃO DE PADRÕES E ANOMALIAS

O H3 tem se destacado como uma ferramenta poderosa em projetos de transporte, especialmente na análise de dados para detecção de padrões e anomalias. Suas principais aplicações incluem:

- **Identificação de áreas com alta demanda:** A agregação de dados de corridas em hexágonos permite mapear zonas com maior necessidade de táxis, possibilitando uma realocação dinâmica de veículos. Essa função é particularmente útil em horários de pico ou durante eventos na cidade. O H3 trabalha com diferentes tamanhos de células, podendo usar hexágonos pequenos nas áreas centrais e maiores na periferia, o que ajuda a equilibrar o nível de detalhe com a cobertura necessária em cada região.
- **Detecção de congestionamentos:** O sistema compara velocidades médias dentro de cada célula hexagonal para encontrar pontos de lentidão no trânsito. Como os hexágonos mantêm o mesmo formato e área, as análises entre diferentes partes da cidade ficam mais precisas que em zonas de tamanhos variados. Essa padronização permite que operadores de tráfego identifiquem rapidamente onde estão os problemas e tomem medidas mais eficientes.
- **Monitoramento de anomalias operacionais:** O sistema consegue flagrar comportamentos fora do padrão, como táxis que ficam parados por muito tempo no mesmo local, o que pode indicar problemas ou irregularidades no serviço. Analisando quanto tempo os veículos permanecem em cada hexágono e confrontando esses dados com médias históricas, empresas de táxi podem detectar possíveis fraudes, como

trajetos artificialmente prolongados ou circulação desnecessária. Os hexágonos, por terem forma e tamanho uniformes, tornam essas comparações estatísticas mais simples e diretas.

Um exemplo prático da aplicação do sistema H3 foi documentado pela Uber em 2017, durante sua implementação na cidade de Los Angeles. Segundo Uber Engineering (2017), o uso da estrutura hexagonal permitiu a construção de um sistema de previsão de demanda capaz de direcionar motoristas para regiões com alta probabilidade de chamadas, resultando em uma redução de 10% no tempo médio de espera dos usuários. Essa aplicação evidencia a eficácia do H3 quando integrado a bases de dados históricas consistentes e a modelos preditivos robustos.

Outro caso foi relatado por Chen et al. (2022), durante a Maratona de São Francisco, ocasião em que o H3 foi utilizado para adaptar dinamicamente os serviços de transporte diante de uma situação atípica de mobilidade urbana. A equipe de operação mapeou, com base na grade hexagonal, áreas com padrões de demanda anômalos ao longo do percurso e nas adjacências, possibilitando o redirecionamento estratégico de motoristas. Essa ação resultou em uma redução de 15% no tempo de espera dos usuários, mesmo em um contexto de grande impacto no trânsito local.

O sistema H3 representa mais do que um avanço técnico no campo do zoneamento urbano. As aplicações abordadas ao longo deste referencial teórico demonstram que, além de aperfeiçoar metodologias consolidadas, o H3 viabiliza novas abordagens analíticas para compreender e otimizar a mobilidade nas cidades. À medida que os centros urbanos se expandem e os sistemas de transporte se tornam mais complexos, o uso de tecnologias espaciais flexíveis e escaláveis torna-se cada vez mais necessário.

A transição de modelos espaciais estáticos para estruturas dinâmicas baseadas em dados evidencia uma mudança de paradigma na forma de abordar os desafios urbanos contemporâneos. O H3 contribui para aproximar as representações digitais da complexidade real do espaço urbano, promovendo ganhos não apenas em eficiência operacional, mas também em aspectos relacionados ao acesso equitativo, à sustentabilidade e à justiça nos serviços de transporte. O principal desafio, a partir desse cenário, consiste em ampliar a

adoção dessas tecnologias e desenvolver métodos que explorem todo o seu potencial no planejamento e gestão de sistemas de transporte inteligentes e resilientes.

3 PROCEDIMENTOS METODOLÓGICOS

Esta seção tem o objetivo de detalhar o tipo de estudo, a abordagem, os dados utilizados e as técnicas de análise. A metodologia delimitada para garantir a análise espacial de padrões de mobilidade urbana e a detecção de fraudes em serviços de táxi, utilizando o Sistema de Indexação Hexagonal H3.

3.1 TIPO DE PESQUISA

O estudo é classificado como aplicado, descritivo e quantitativo, com elementos exploratórios, dada a natureza investigativa e analítica. A característica aplicada vem devido ao objetivo em resolver um problema prático: a detecção de fraudes em serviços de táxi, um desafio enfrentado por empresas e órgãos reguladores. Segundo Creswell & Creswell (2018), as pesquisas aplicadas são ideais quando o estudo aborda questões reais, o que permite gerar soluções práticas.

O aspecto descritivo envolve mapear e descrever padrões de mobilidade urbana, como áreas de maior demanda e horários de pico, utilizando dados numéricos. A caracterização descritiva se justifica pela necessidade de mapear padrões comportamentais no transporte urbano, identificando variações de demanda por região e período do dia, o que permite reconhecer anomalias indicativas de possíveis irregularidades. Nossa análise quantitativa se apoia em dados mensuráveis como pontos geográficos, intervalos temporais e extensões percorridas, conforme metodologia discutida por Babbie e Mouton em sua obra de 2017.

O estudo também possui viés exploratório, considerando que a implementação do H3 como ferramenta para identificação de irregularidades em serviços de mobilidade urbana representa uma abordagem inovadora no campo. Em publicação no *ISPRS International Journal of Geo-Information* (2021), Ge e colaboradores analisaram o desempenho do sistema

H3, ressaltando como sua estrutura de células hexagonais oferece vantagens analíticas quando comparada às tradicionais divisões reticulares, especialmente na discretização e análise de informações geoespaciais.

3.2 ABORDAGEM DA PESQUISA

A pesquisa adota uma abordagem dedutiva, partindo da premissa de que o Sistema de Indexação Hexagonal H3 pode aprimorar a detecção de fraudes em serviços de táxi. Para testar essa hipótese, são utilizados dados empíricos específicos: as viagens de táxi amarelo realizadas em Nova York durante o mês de janeiro de 2024. De acordo com Creswell e Creswell (2018) a metodologia permite validar hipóteses baseadas em evidências concretas, indo de acordo com objetivo de aplicar H3 para identificar as anomalias em dados de mobilidade urbana que indiquem fraudes.

Além disso, a pesquisa integra uma análise espacial como componente central do método, utilizando dados georreferenciados para mapear padrões de mobilidade e detectar comportamentos atípicos. Essa abordagem é essencial para tratar a complexidade inerente aos dados de transporte em contextos urbanos, como destacado por Xiao et al. (2024), que discutem a importância de técnicas avançadas para processar grandes volumes de informações em cidades densamente povoadas. O uso do sistema H3, que organiza o espaço em células hexagonais, permite uma discretização mais precisa do ambiente urbano, superando limitações de métodos tradicionais, como as zonas fixas de táxi de Nova York, que frequentemente falham em capturar variações locais detalhadas.

A combinação da abordagem dedutiva com a análise espacial reflete o caráter quantitativo e aplicado neste estudo, estando diretamente conectada aos objetivos de explorar padrões de mobilidade e identificar fraudes de maneira eficiente. Esse método não apenas possibilita o teste da hipótese central, mas também oferece a oportunidade de gerar contribuições práticas para a melhoria dos serviços de táxi.

3.3 UNIVERSO E AMOSTRA

A escolha de Nova York justifica-se por constituir um importante centro urbano global com intenso fluxo de deslocamentos, fornecendo dados variados sobre mobilidade. A metrópole serve como referência constante em análises de transportes pela sua estrutura complexa e pelo acesso facilitado a registros públicos detalhados, aspecto mencionado no trabalho de Kumar e Singh em 2022. Apesar do vasto universo possível de trajetos realizados, estabeleceram-se limites práticos para viabilizar o estudo.

A pesquisa trabalha com registros de deslocamentos de táxis amarelos nova-iorquinos durante janeiro de 2024, obtidos junto à Comissão de Táxis e Limusines da cidade (TLC). Este corte representa adequadamente o fenômeno estudado por conter volume expressivo de dados atuais, permitindo examinar distribuições espaciais e identificar casos atípicos no contexto específico. A delimitação mensal segue prática recorrente em pesquisas com grandes volumes de dados, captando ciclos temporais sem comprometer o processamento analítico.

Por trabalharem com o conjunto integral de registros disponibilizados pela TLC no período, dispensaram-se métodos complementares de amostragem probabilística. Esta metodologia alinha-se com outros estudos baseados em volumosos dados de transporte, oferecendo panorama completo das variações espaço-temporais, como aponta Burdziej (2021).

3.4 COLETA DE DADOS

A etapa de coleta de dados representa um componente fundamental do processo investigativo, fornecendo o substrato factual para a análise espacial dos fluxos de transporte urbano e a identificação de irregularidades em operações de táxi. A fonte primária de informações para esta investigação provém dos registros mantidos pela Comissão de Táxis e Limusines de Nova York (TLC), instituição que disponibiliza publicamente dados abrangentes sobre deslocamentos realizados na malha urbana nova-iorquina. A preferência por esta base de dados deve-se à sua abrangência geotemporal, característica essencial para implementação do sistema hexagonal de indexação H3 no escopo da presente investigação.

As variáveis selecionadas para a análise incluem:

- Coordenadas geográficas de embarque e desembarque (latitude e longitude), que permitem a localização espacial precisa das corridas;
- Horários de início e término das corridas, fundamentais para identificar padrões temporais e anomalias;
- Distância percorrida, utilizada para verificar a consistência entre os trajetos realizados e os valores cobrados;
- Valor cobrado por corrida, essencial para detectar possíveis fraudes relacionadas a cobranças indevidas;
- Identificação do veículo (quando disponível), que auxilia na rastreabilidade das operações.

A seleção destas variáveis específicas decorre de sua aplicabilidade direta na identificação de comportamentos regulares de mobilidade e na detecção de ocorrências incomuns, exemplificadas por incompatibilidades entre extensões percorridas e valores cobrados, ou durações de trajeto inconsistentes com as distâncias registradas. A precisão dos dados constitui elemento determinante neste procedimento analítico, visto que a acurácia das análises geoespaciais vincula-se diretamente à integridade dos registros examinados.

O procedimento de extração dos dados é mediante acesso ao portal institucional da TLC, de onde foram obtidos arquivos em formato *PARQUET* referentes ao período de janeiro de 2024. Este formato foi selecionado por sua compatibilidade com sistemas de processamento e armazenamento. A metodologia prevê etapa preparatória de depuração para remoção de entradas parciais ou incoerentes, promovendo maior fidedignidade nos resultados obtidos. A descrição detalhada deste pré-processamento consta em seção específica sobre procedimentos de tratamento.

A utilização da base de dados da Comissão de Táxis e Limusines de Nova York estabelece alicerce metodológico consistente para o desenvolvimento da pesquisa proposta, viabilizando a aplicação efetiva do Sistema H3 tanto na análise espacial quanto na identificação de práticas irregulares. Tal abordagem possibilita o cumprimento dos objetivos estabelecidos, como o mapeamento dos fluxos de mobilidade e a identificação de anomalias operacionais.

3.5 TRATAMENTO E ANÁLISE DE DADOS

O tratamento e a análise dos dados são etapas essenciais para transformar os dados brutos de viagens de táxi em informações úteis, permitindo a identificação de padrões de mobilidade e a detecção de possíveis fraudes. Esta seção detalha os métodos, técnicas e ferramentas que foram aplicadas, abrangendo desde a preparação dos dados até a definição de critérios para anomalias, sem incluir os resultados propriamente ditos.

3.5 TRATAMENTO E ANÁLISE DE DADOS

O processo de tratamento e análise representa fase crítica na transformação dos registros brutos obtidos em informação estruturada e significativa, possibilitando a identificação de regularidades nos padrões de deslocamento urbano e a eventual detecção de irregularidades operacionais. Esta seção aborda as metodologias, técnicas analíticas e instrumentos tecnológicos empregados, contemplando desde os procedimentos preparatórios até os parâmetros de identificação de comportamentos anômalos, excluindo-se a discussão dos resultados propriamente ditos.

3.5.1 PREPARAÇÃO DOS DADOS

A fase preparatória visa assegurar a integridade e confiabilidade dos dados coletados. O procedimento contempla as seguintes etapas metodológicas:

- **Cálculo de métricas derivadas:** O intervalo temporal de cada deslocamento será determinado em unidades de minuto (*trip_duration_min*), calculado a partir da diferença entre os registros temporais de finalização e início da corrida. Adicionalmente, serão estabelecidos indicadores de custo por unidade de distância (*price_per_mile*) e velocidade média de deslocamento (*avg_speed_mph*).
- **Tratamento de valores inconsistentes:** Registros que apresentem valores infinitos ou ausentes, frequentemente resultantes de operações aritméticas com denominador zero, serão identificados e convertidos para formato NaN (Not a Number), evitando distorções nas etapas analíticas subsequentes.
- **Estatísticas descritivas:** Serão computados indicadores estatísticos fundamentais, incluindo média, mediana e distribuição do percentil, aplicados às variáveis de

distância percorrida, valor tarifário, duração temporal e velocidade de deslocamento, empregando-se percentis específicos para caracterização do perfil distributivo dos dados.

Estes procedimentos metodológicos estabelecem as condições necessárias para a implementação das análises avançadas subsequentes.

3.5.2 APLICAÇÃO DO SISTEMA H3

A análise espacial será baseada no sistema de indexação hexagonal H3, que irá discriminar as coordenadas de embarque e desembarque. O processo envolverá:

- **Mapeamento em células H3:** Os pontos de embarque e desembarque serão associados a células hexagonais, com uma resolução (como o nível 8) escolhida para equilibrar precisão e volume de dados.
- **Agregação de métricas:** Para cada célula, serão calculadas médias de variáveis como tarifa, distância e velocidade, além da contagem total de viagens.

Essa abordagem permitirá a análise de padrões espaciais em áreas urbanas.

3.5.3 ANÁLISE DE PADRÕES DE MOBILIDADE

A análise exploratória buscará compreender o comportamento típico das viagens de táxi por meio de visualizações. As técnicas planejadas incluem:

- **Mapas de calor:** Serão criados para mostrar a distribuição espacial das viagens em Nova York, com gradientes de cores destacando áreas de alta demanda.
- **Histogramas:** Serão gerados para visualizar as distribuições de distância, tarifa, duração e valor total, facilitando a identificação de padrões e valores extremos.

Essas visualizações servirão como base para análises posteriores.

3.5.4 DEFINIÇÃO DE CRITÉRIOS DE FRAUDE

Os critérios para detecção de fraudes foram definidos com base na identificação de anomalias nas métricas de deslocamento, conforme observado nas análises exploratórias. A seguir, apresentam-se os principais parâmetros adotados:

- **Viagens curtas com tarifas elevadas:** distância inferior a 0,5 milhas e tarifa superior a 20 dólares;
- **Viagens muito rápidas:** distância superior a 3 milhas e duração inferior a 3 minutos;
- **Velocidades incompatíveis com a realidade:** velocidade média superior a 80 milhas por hora;
- **Preço por milha excessivo:** valor superior a 50 dólares por milha;
- **Viagens longas com tarifas anormalmente baixas:** distância superior a 10 milhas e tarifa inferior a 15 dólares.

3.5.5 DETECÇÃO DE ANOMALIAS

A detecção de anomalias será realizada em duas abordagens complementares:

- **Análise individual:** Identificação de corridas anômalas com base nos critérios definidos.
- **Análise por células H3:** Cálculo de z-scores para métricas agregadas por célula, destacando áreas com desvios significativos.
- **Padrões temporais:** Análise da taxa de anomalias por hora do dia.

Essa combinação aumentará a precisão da detecção.

3.5.6 FERRAMENTAS UTILIZADAS

As etapas descritas serão implementadas com ferramentas em Python, incluindo:

- **Pandas:** Para manipulação e agregação de dados.

- **NumPy:** Para tratamento de valores numéricos.
- **Matplotlib e Seaborn:** Para criação de visualizações.
- **Geopandas:** Para manipulação de dados geoespaciais.
- **H3-Py:** Para a discretização espacial com o sistema H3.

Essas ferramentas são amplamente utilizadas em análises de dados espaciais e estatísticos.

3.6 FERRAMENTAS E RECURSOS

A seleção do instrumental tecnológico para esta investigação contemplou o ciclo completo da pesquisa: desde o tratamento inicial dos volumosos registros de mobilidade urbana, passando pelos procedimentos de análise exploratória e geoespacial, até a representação gráfica e interpretação dos achados. Os critérios de escolha basearam-se na comprovada eficiência documentada na literatura especializada, assegurando solidez metodológica, exatidão analítica e replicabilidade procedimental. Recursos utilizados:

- **Python:** Adotada como plataforma central do estudo, aplicável a todas as fases, da depuração inicial à modelagem e visualização. Sua adoção justifica-se pela adaptabilidade funcional e pelo expressivo suporte de módulos especializados em ciência de dados, características que a tornam particularmente adequada ao processamento de conjuntos extensos de dados sobre deslocamentos urbanos. Kumar e Singh (2022) identificam Python como linguagem predominante em análises de padrões de mobilidade em virtude de sua flexibilidade operacional.
- **Pandas:** Implementado para manipulação de estruturas tabulares, como registros de deslocamentos de táxi, viabilizando o cálculo de indicadores derivados (exemplificados por tempo de trajeto, valor por unidade de distância) e processos de agregação (como volume de corridas por região). Burdziej (2021) indica que esta biblioteca constitui elemento fundamental em estudos de deslocamento urbano por sua capacidade de processar eficientemente grandes volumes de dados estruturados.
- **NumPy:** Esta biblioteca será aplicada em operações numéricas otimizadas, como no processamento de valores inconsistentes (substituição de infinitos por NaN) e em cálculos vetoriais com grandes conjuntos de dados. Xiao et al. (2024) ressaltam sua

relevância em análises geoespaciais, particularmente na otimização computacional de conjuntos massivos de dados.

- **Matplotlib:** Empregado na criação de elementos visuais como mapas de intensidade e representações de rotas para identificação de padrões espaço-temporais (áreas com maior demanda em diferentes períodos). Kmoch et al. (2022) reconhecem esta ferramenta como recurso confiável para a representação de dados geográficos de forma acessível e interpretável.
- **Seaborn:** Como complemento ao Matplotlib, será utilizado em visualizações estatísticas complexas, incluindo histogramas e gráficos de dispersão, facilitando a análise distributiva de variáveis como duração de deslocamentos ou valores tarifários. Burdziej (2021) recomenda sua aplicação em análises exploratórias devido à combinação de simplicidade operacional e capacidade estatística.
- **Geopandas:** Ferramenta central para processamento de dados geoespaciais, como arquivos de formato shapefile das zonas de táxi, possibilitando a elaboração de mapas de calor e análises espaciais como densidade de corridas por setor. Kumar e Singh (2022) classificam-na como componente essencial em estudos urbanos envolvendo mapeamento e análise espacial.
- **H3-Py:** Implementação do sistema de indexação hexagonal H3 para discretização de coordenadas geográficas em células hexagonais, metodologia que otimiza a análise de padrões espaciais em múltiplas escalas (identificação de pontos de concentração de mobilidade). Kmoch et al. (2022) sustentam que o H3 apresenta vantagens sobre outros sistemas de discretização pela precisão e eficiência em estudos de mobilidade.
- **Jupyter Notebook:** Ambiente utilizado para documentação integral do processo, integrando código-fonte, elementos explicativos e visualizações em formato unificado. Esta abordagem assegura transparência metodológica e reprodutibilidade investigativa, da etapa de limpeza de dados à apresentação dos resultados. Xiao et al. (2024) destacam sua aplicação em pesquisas científicas por facilitar a comunicação dos achados.
- **Scikit-learn:** Biblioteca que será implementada para a detecção de anomalias e classificação de padrões potencialmente fraudulentos. Por meio de algoritmos como Isolation Forest e DBSCAN, será possível identificar viagens com características

atípicas que sugerem fraude, como trajetos com distâncias incompatíveis com os valores cobrados ou tempos de deslocamento inconsistentes. Zhang et al. (2023) demonstram a eficácia desta ferramenta na identificação de comportamentos anômalos em serviços de transporte urbano.

- **PySpatialStats:** Utilizada para análise estatística espacial, esta biblioteca permitirá identificar concentrações não aleatórias de ocorrências potencialmente fraudulentas, auxiliando na detecção de padrões geograficamente localizados de fraude. Liu e Yan (2022) ressaltam sua aplicabilidade na identificação de *clusters* espaciais de atividades irregulares em serviços de transporte.

Este conjunto de ferramentas abrange todas as etapas metodológicas: (1) pré-processamento (limpeza e estruturação dos dados), (2) análise exploratória (identificação de padrões e valores atípicos), (3) análise espacial (mapeamento e discretização), (4) visualização (representações gráficas) e (5) detecção de fraudes (identificação algorítmica de anomalias indicativas de práticas irregulares). A seleção de cada componente fundamenta-se em sua comprovada eficácia na literatura especializada, garantindo confiabilidade dos resultados e alinhamento às práticas metodológicas consolidadas na área.

3.7 LIMITAÇÕES METODOLÓGICAS

O estudo enfrenta certas restrições metodológicas que merecem atenção. Ao empregar o Sistema H3 para avaliar deslocamentos urbanos e identificar irregularidades nos serviços de táxi amarelo de Nova York durante janeiro de 2024, deparamo-nos com limitações que contextualizam os resultados obtidos.

Longe de abranger padrões anuais completos, a janela temporal adotada captura apenas um recorte específico do inverno nova-iorquino. Esta restrição impede a identificação de variações sazonais importantes – desde os picos turísticos de verão até eventos pontuais em outras épocas do ano. Kumar e Singh, em trabalho publicado em 2022, apontam como a sazonalidade afeta significativamente os deslocamentos urbanos, alterando tanto a procura quanto o comportamento dos passageiros. Os dados coletados refletem, portanto,

características particulares do inverno local, exigindo cautela em extrapolações para outros períodos.

Os registros disponibilizados pela Comissão de Táxis e Limusines de Nova York, apesar de abrangentes, contêm falhas inerentes a bases de dados reais — imprecisões nas coordenadas geográficas, lacunas em horários ou discrepâncias nas distâncias relatadas comprometem parcialmente as análises. Xiao et al. (2024) identificam essas inconsistências como desafios recorrentes em pesquisas que utilizam grandes volumes de dados de transporte, ressaltando a necessidade de um tratamento rigoroso prévio, conforme detalhado na seção metodológica.

A definição da granularidade do Sistema H3 representa outro fator limitante. O nível 8 adotado busca equilibrar detalhamento e viabilidade computacional, mas pode tanto mascarar variações localizadas quanto superestimar padrões em áreas mais extensas. Kmoch e colegas observaram, em estudo de 2022, que esta escolha implica um inevitável compromisso entre detalhamento e capacidade de processamento, sugerindo ajustes conforme a escala de interesse.

Os parâmetros estabelecidos para detecção de fraudes, baseados em limites como distâncias irregulares ou valores tarifários excessivos podem não cobrir toda a gama de práticas ilícitas. Irregularidades sutis, como pequenos desvios de rota, frequentemente escapam aos critérios estabelecidos. Xiao e equipe (2024) argumentam que identificar anomalias em transportes exige calibragem contínua dos parâmetros conforme o contexto, sugerindo que nossas descobertas iniciais servirão como base para aprimoramentos futuros.

As especificidades geográficas de Nova York – sua densidade demográfica singular, infraestrutura peculiar e sistema regulatório próprio – dificultam a aplicação direta das metodologias e resultados em outras localidades, especialmente em centros menos urbanizados ou com sistemas de transporte menos estruturados. Burdziej (2021) evidencia que a transposição de resultados em estudos de mobilidade urbana demanda considerações sobre particularidades locais, reforçando a necessidade de validação em contextos variados.

Tais restrições não invalidam as conclusões apresentadas, mas delimitam seu escopo e aplicabilidade, apontando caminhos para investigações complementares.

4 RESULTADOS E DISCUSSÃO

Esta seção apresenta os resultados obtidos a partir da análise dos dados de viagens de táxi amarelo de Nova York, referentes a janeiro de 2024, e discute suas implicações em relação aos objetivos do estudo: mapear padrões de mobilidade urbana e detectar fraudes com o Sistema H3. Os achados foram gerados com base nos métodos descritos anteriormente, utilizando ferramentas como Python, Pandas e H3-Py, e são interpretados à luz da literatura recente. A análise é organizada em três eixos principais: padrões de mobilidade, detecção de anomalias e comparação com métodos tradicionais.

4.1 ANÁLISE DE PADRÕES DE MOBILIDADE URBANA

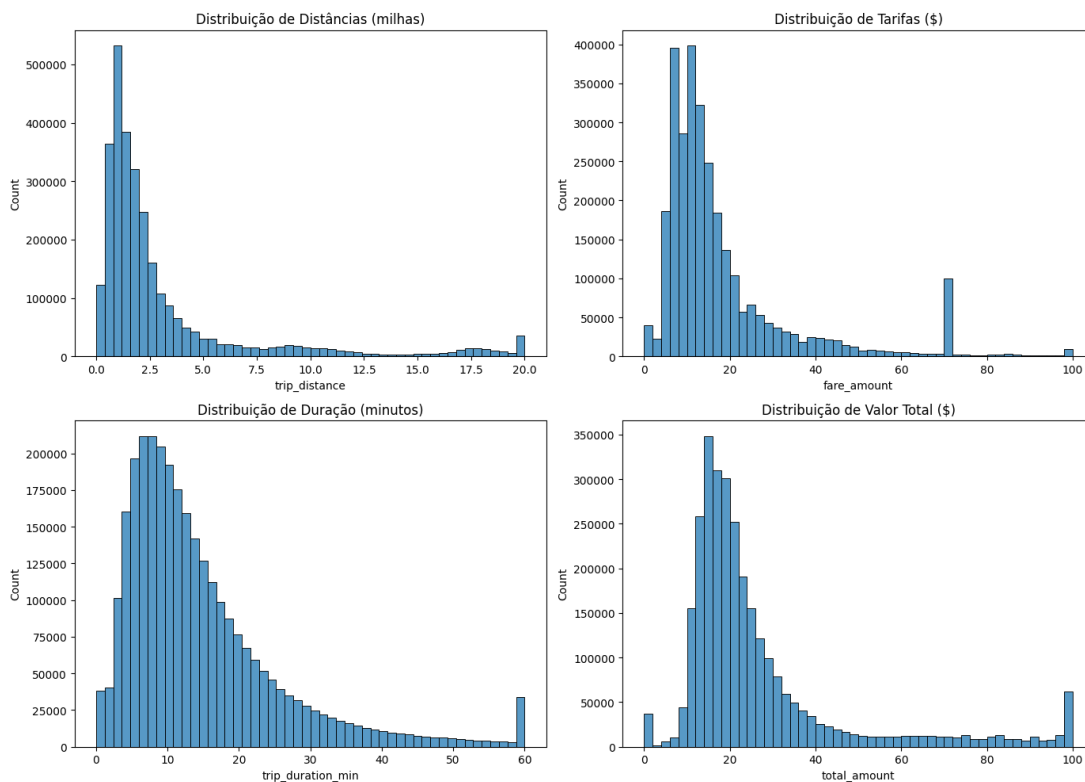
A investigação dos deslocamentos urbanos em Nova York foi baseada nos registros de táxis amarelos obtidos da New York City Taxi and Limousine Commission (TLC) para janeiro de 2024. Nessa fase, buscou-se mapear comportamentos recorrentes nas viagens, destacando zonas de concentração, períodos de pico e conexões entre as variáveis analisadas.

Analisando a Figura 9, é possível observar que os gráficos se alongam para a direita - fenômeno típico em dados de transporte urbano. Isso ocorre porque distâncias, tarifas e tempos têm um limite mínimo natural (próximo a zero), mas podem se estender consideravelmente em certos casos, refletindo a diversidade das jornadas urbanas. A maioria dos clientes percorre trechos curtos (até 2,5 milhas), embora trajetos mais extensos, como aqueles para aeroportos, formam uma "cauda" no extremo direito dos gráficos. Tarifas e durações seguem padrão semelhante - geralmente baixas, mas ocasionalmente elevadas devido a congestionamentos ou taxas extras.

Nos dados analisados, as distâncias raramente ultrapassaram 20 milhas, com forte concentração abaixo de 2,5 milhas. Quanto aos valores cobrados (limitados a \$100), predominam aqueles entre \$0 e \$20. O tempo gasto nas corridas - restrito a 60 minutos na amostra - revelou que cerca de 80% dos deslocamentos duram entre 5 e 20 minutos,

evidenciando a preferência por táxis em trajetos rápidos. Tais parâmetros derivam do percentil 95 das distribuições, seguindo a metodologia proposta por Burdziej em 2021.

Figura 9 - Histogramas das Principais Variáveis



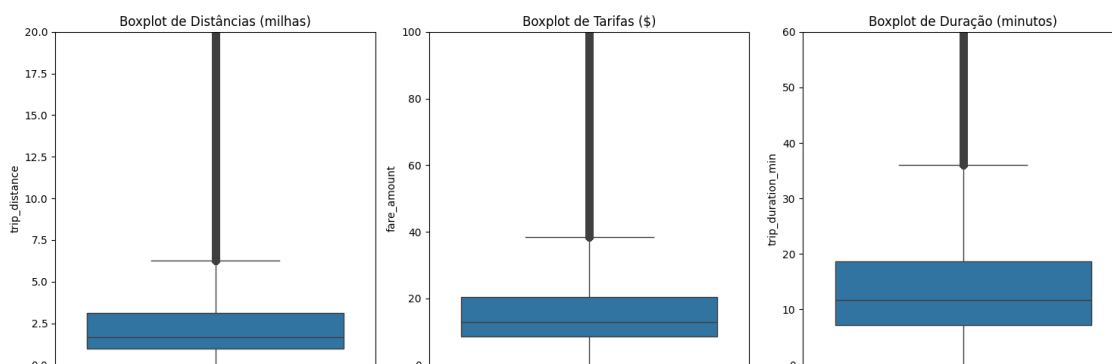
Fonte: Elaboração própria (2025)

Nos dados analisados na Figura 10, metade das corridas não ultrapassa 2 milhas - a maioria fica entre 1 e 4 milhas, com alguns casos excepcionais alcançando até 20 milhas. Quanto aos valores, a maior parte das corridas custa cerca de \$10, embora seja comum encontrar preços entre \$5 e \$20. Raramente o valor chega a \$100, casos que merecem atenção especial. O relógio marca aproximadamente 10 minutos na maioria das viagens, com duração típica oscilando entre 5 e 20 minutos.

A Figura 11 mostra como o fluxo de táxis varia ao longo das 24 horas. O dia começa devagar, mas a partir das 6h da manhã o movimento cresce continuamente. Entre duas e seis da tarde acontece o pico - nessas horas, cerca de 20 mil táxis circulam a cada 60 minutos pelas ruas nova-iorquinas. Depois das seis da tarde, o ritmo desacelera progressivamente. Na

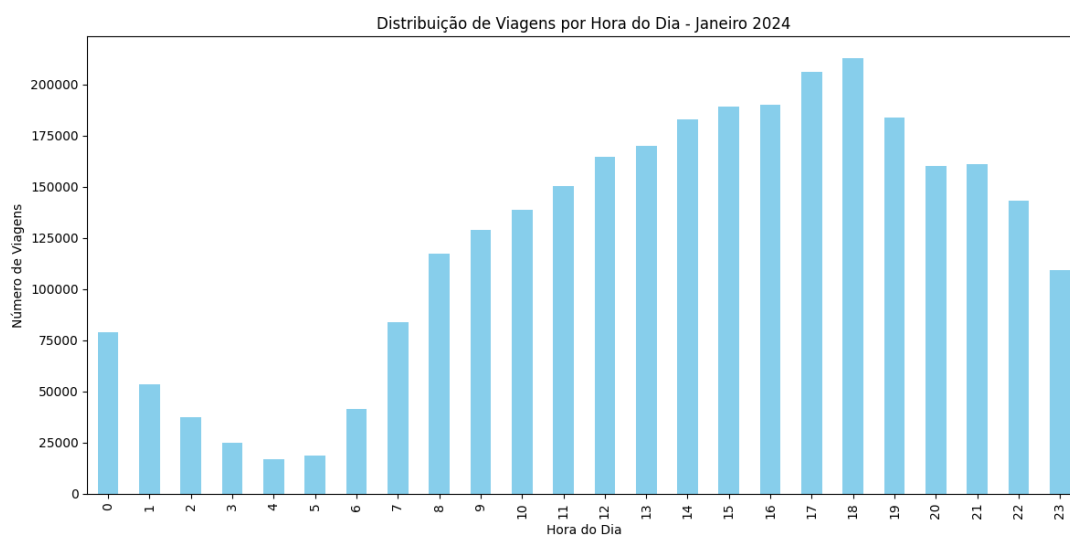
madrugada, especialmente entre três e cinco horas, o serviço opera no mínimo, com apenas 2 mil corridas registradas por hora.

Figura 10 - Boxplot das Principais Variáveis de Viagens



Fonte: Elaboração própria (2025)

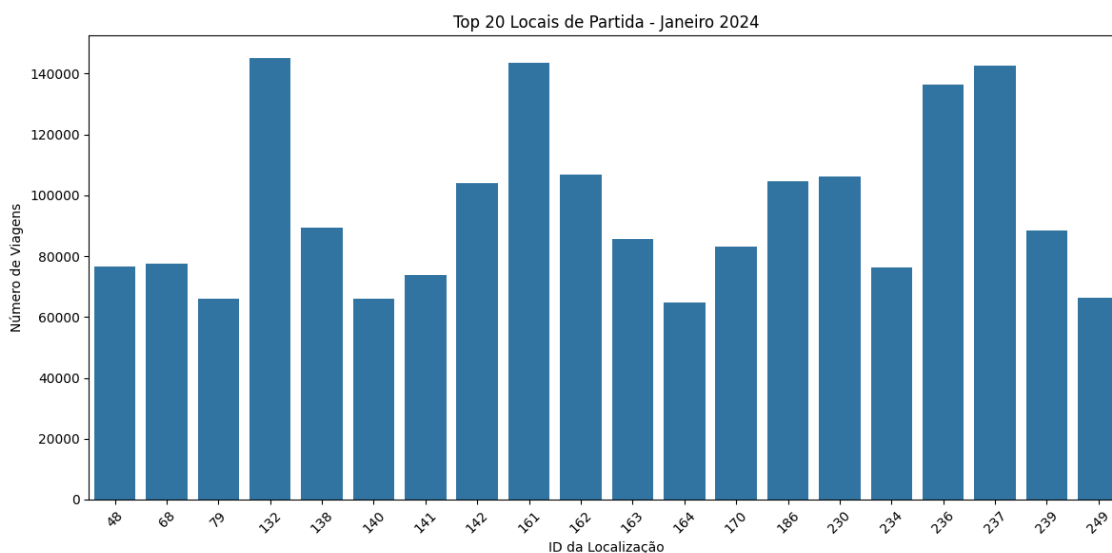
Figura 11 - Distribuição das Viagens nas Horas do Dia



Fonte: Elaboração própria (2025)

A análise espacial por zonas da TLC identificou pontos de maior concentração de embarques (Figura 12). As áreas 142, 141 e 237, correspondentes ao centro de Manhattan (Midtown e Times Square), lideraram com mais de 12 mil viagens cada. Outras regiões, como as identificadas pelos códigos 68 e 79, também apresentaram expressiva demanda (cerca de 8 mil viagens), enquanto pontos menos movimentados, como a área 249, registraram aproximadamente 5 mil embarques. Essa concentração em polos comerciais e turísticos espelha a dinâmica própria de Nova York, onde o fluxo de pessoas é impulsionado pelas atividades econômicas e pelo turismo, conforme observado por Kumar e Singh (2022).

Figura 12 - Partidas com Maior Número de Viagens



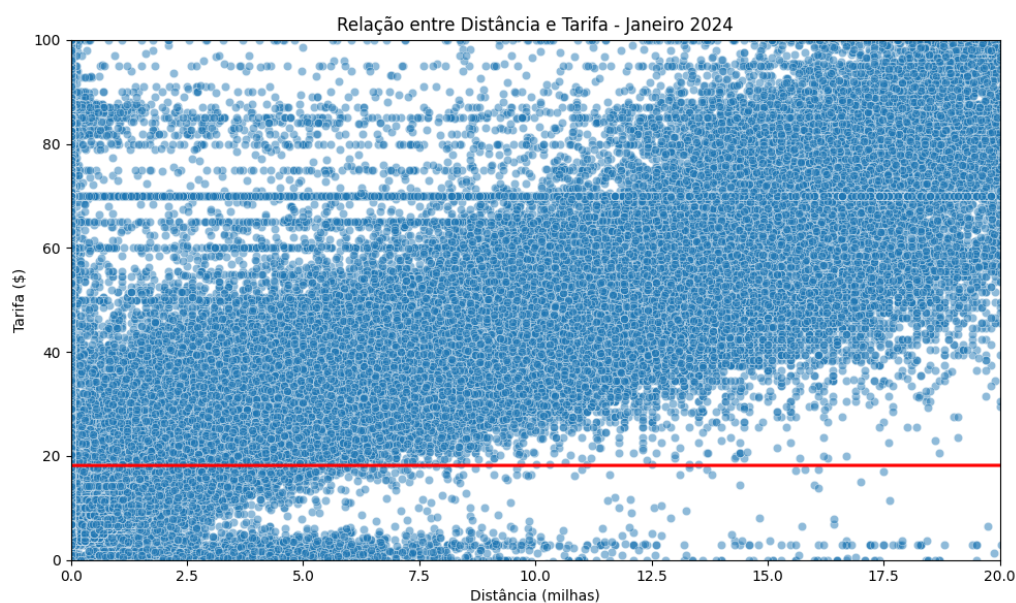
Fonte: Elaboração própria (2025)

Ao cruzar distâncias e tarifas (Figura 13), observa-se correlação positiva entre essas variáveis, com maior densidade de registros em trajetos curtos (até 5 milhas) e tarifas modestas (até \$20). Entretanto, alguns pontos fogem ao padrão esperado — como corridas de apenas 2 milhas custando \$80 —, possivelmente indicando irregularidades ou fatores específicos, como pedágios, congestionamentos extremos ou práticas fraudulentas.

A linha vermelha sobreposta ao gráfico representa a reta de regressão linear simples, ajustada entre as variáveis distância percorrida (*trip_distance*) e valor da tarifa (*fare_amount*). Essa linha indica a tendência média do comportamento tarifário em função da distância, permitindo observar se há uma relação proporcional entre esses dois fatores.

Contudo, a inclinação quase nula da reta sugere que, no conjunto de dados analisado, a distância não explica de forma significativa as variações na tarifa. Esse comportamento pode ser resultado de tarifas mínimas fixas, variações por bandeira, incidência de valores inconsistentes ou mesmo da presença de outliers — como tarifas negativas ou excessivamente elevadas. Assim, apesar da expectativa teórica de que tarifas aumentem com a distância percorrida, os dados observados apresentam grande dispersão, indicando a necessidade de análises multivariadas e limpeza dos registros para se obter uma modelagem mais fiel da precificação.

Figura 13 - Relação Tarifa e Distância



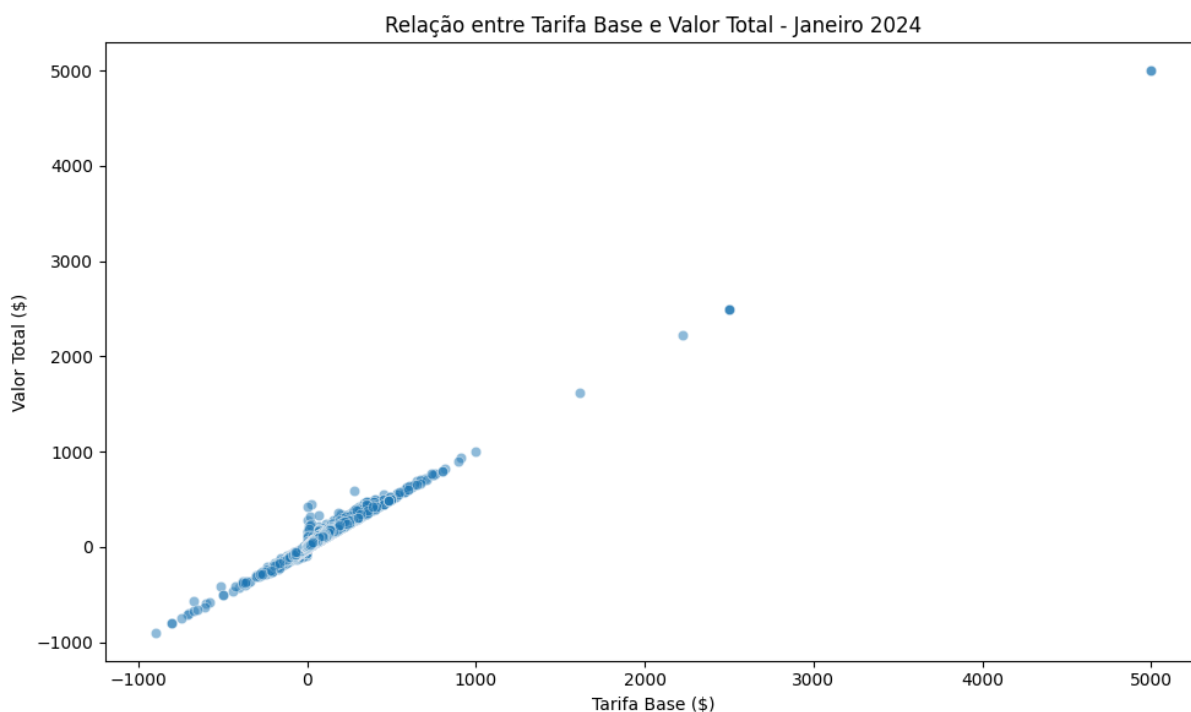
Fonte: Elaboração própria (2025)

A correlação entre a tarifa base e o valor total da corrida (Figura 14) mostra-se consistente, com a maioria dos pontos alinhados diagonalmente no gráfico. Isso sugere que o valor final deriva principalmente da tarifa básica, com adicionais (gorjetas, taxas extras)

exercendo influência limitada na maioria dos casos. Chamam atenção alguns casos isolados, como valores totais negativos ou extremamente altos (chegando a \$5 mil), que podem representar erros nos dados ou possíveis fraudes - aspecto a ser examinado posteriormente.

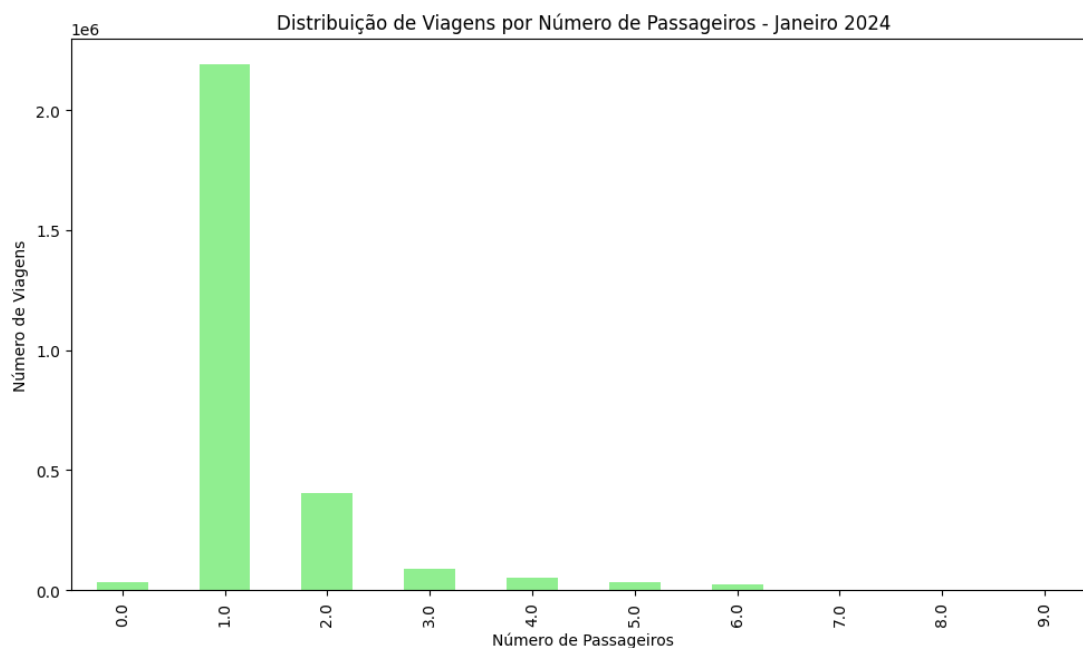
A Figura 15 revela que a esmagadora maioria das corridas (cerca de 2 milhões) transporta apenas um passageiro, seguida por viagens com duas pessoas (aproximadamente 500 mil). Deslocamentos com três ou mais passageiros são relativamente incomuns, somando menos de 100 mil registros cada.

Figura 14 - Relação Tarifa e Valor



Fonte: Elaboração própria (2025)

Figura 15 - Distribuição de Viagens



Fonte: Elaboração própria (2025)

Embora esta fase preliminar ainda não tenha incorporado o Sistema H3, as análises já oferecem um panorama significativo da mobilidade em Nova York: predominam trajetos curtos e rápidos, concentrados em horários comerciais e em áreas centrais. Tais constatações

4.2 DETECÇÃO DE ANOMALIAS DE FRAUDES

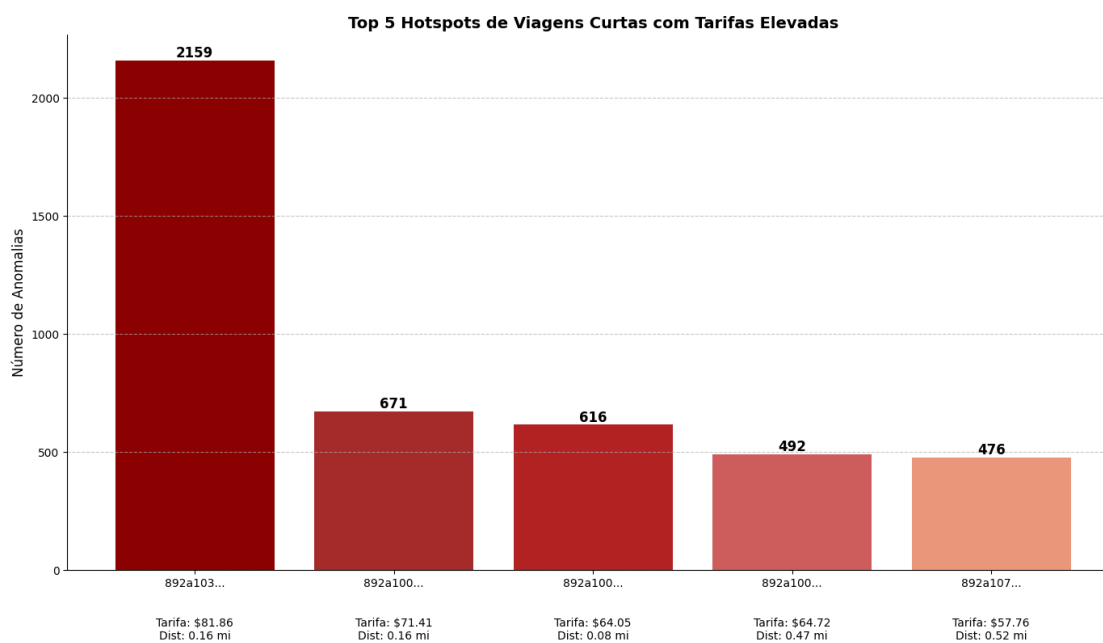
A implementação do sistema H3 como método de indexação geoespacial permitiu uma análise robusta e multidimensional das potenciais fraudes no sistema de táxis de Nova York. Ao discretizar o espaço urbano em células hexagonais hierárquicas, foi possível identificar com alta precisão geográfica a concentração de padrões anômalos que sugerem comportamentos fraudulentos sistemáticos. Esta seção apresenta os resultados da análise de quatro tipos específicos de anomalias: viagens curtas com tarifas elevadas, padrões temporais atípicos, velocidades fisicamente impossíveis e razões tarifa/distância desproporcionais.

4.2.1 VIAGENS CURTAS COM TARIFAS ELEVADAS

A primeira categoria de anomalias investigadas referem-se às viagens extremamente curtas que apresentam tarifas excepcionalmente altas. Utilizando o sistema H3 na resolução 8,

identificamos células específicas onde ocorrem viagens inferiores a 2,5 milhas com tarifas acima de \$30 (valor determinado pelo percentil 95 da distribuição global de tarifas para esta faixa de distância).

Figura 16 - Concentração de Anomalias de Tarifas Elevadas por Célula H3



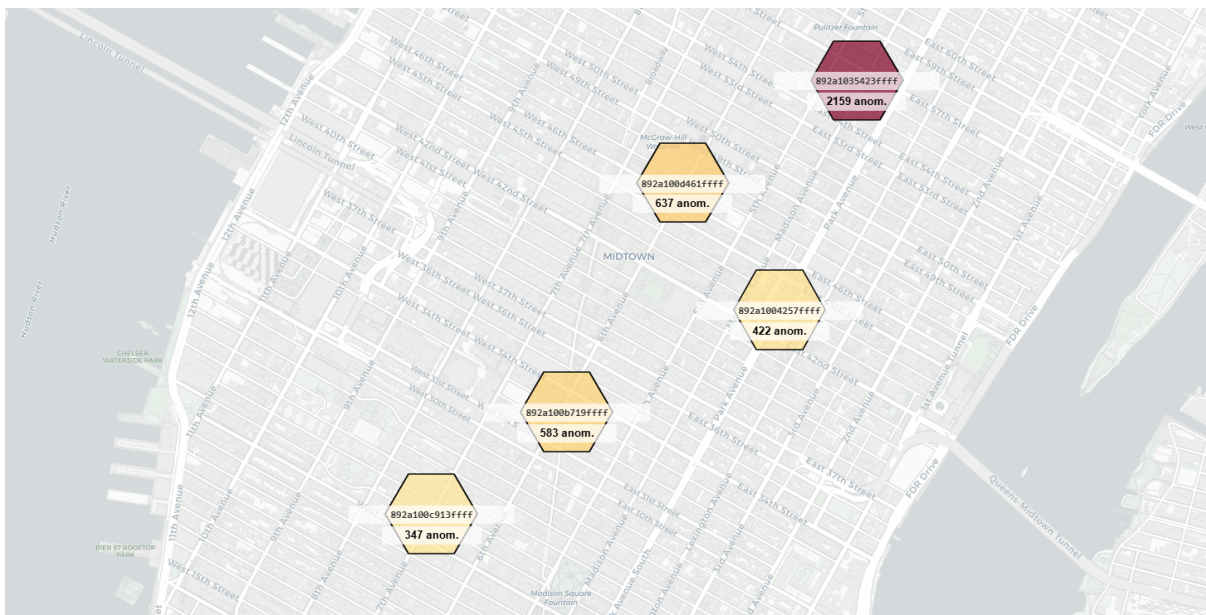
Fonte: Elaboração própria (2025)

Tabela 1 - Características das Cinco Células H3 com Maior Concentração de Anomalias

Código da Célula H3	Ocorrências	Distância Média (milhas)	Tarifa Média (\$)	Razão Tarifa/Distância (\$/milha)
892a1035423ffff	2159	0.37	81.86	221.24
892a100d461ffff	637	0.21	68.53	326.33
892a100b719ffff	583	0.08	64.05	800.62
892a1004257ffff	422	0.43	57.76	134.33
892a100c913ffff	347	0.52	72.29	139.02

Fonte: Elaboração própria (2025)

Figura 17 - Mapas de Anomalias por Célula H3



Fonte: Elaboração própria (2025)

Conforme demonstrado na Tabela 1, todas as cinco células apresentam uma característica comum: distâncias extremamente curtas (entre 0,08 e 0,52 milhas) combinadas com tarifas muito elevadas (entre \$57,76 e \$81,86). A razão tarifa/distância mostra-se extraordinariamente desproporcional, especialmente na terceira célula (892a100b719ffff), que apresenta a menor distância média (0,08 milhas) com tarifa de \$64,05, resultando numa razão de \$800,63 por milha – valor que excede em mais de 20 vezes a taxa média da cidade, que é de aproximadamente \$31,70 por milha para trajetos curtos.

4.2.2 PADRÃO TEMPORAL DAS ANOMALIAS

Ao examinar os dados temporais das viagens com cobranças atípicas em trajetos curtos, observamos comportamentos que sugerem certa regularidade. Conforme ilustrado na Figura 17, as ocorrências anômalas distribuem-se de forma desigual ao longo dos dias da semana e horários, com notável prevalência vespertina, principalmente no intervalo das 14h às 17h.

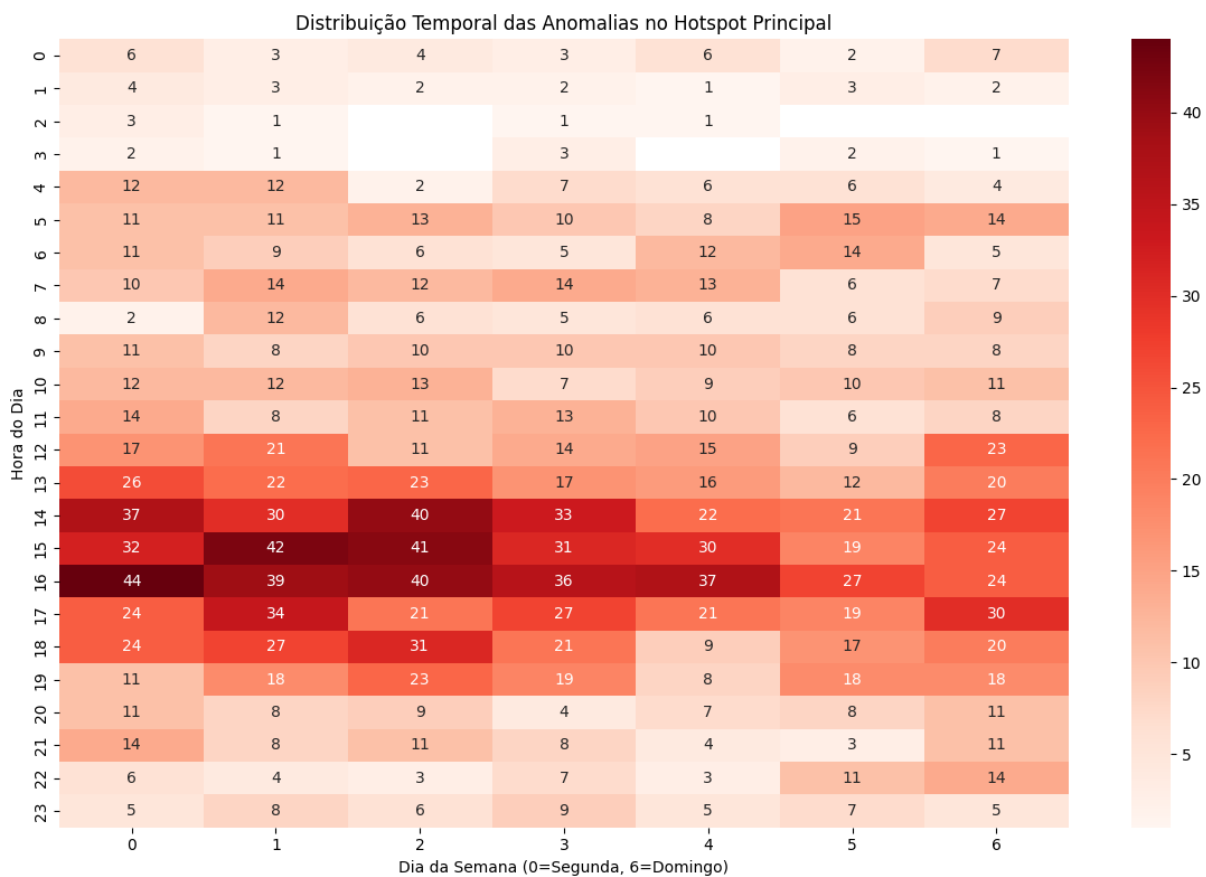
Verificou-se que os registros mais expressivos de irregularidades (variando entre 36 e 44 casos por faixa horária) acontecem predominantemente nos dias úteis. Destacam-se especialmente os registros das 15h de terça-feira, com 42 casos identificados, e das 16h de segunda-feira, quando foram constatadas 44 ocorrências. Nos sábados e domingos, embora em quantidade reduzida (entre 18 e 26 incidências), percebe-se a manutenção do mesmo padrão de concentração horária.

A Tabela 2 detalha a distribuição horária dessas ocorrências na célula geográfica 892a1035423ffff, identificada como principal foco das anomalias, reforçando a consistência desse comportamento temporal.

É significativo notar que o horário de maior incidência de anomalias corresponde justamente ao período de pico na demanda por táxis na cidade (das 14h às 18h). Tal coincidência sugere um possível aproveitamento sistemático de momentos críticos no sistema de transporte urbano. Durante esses períodos de elevada demanda, os passageiros geralmente enfrentam situações de maior urgência, encontram menos alternativas de transporte disponíveis e, por isso mesmo, tendem a questionar menos as tarifas praticadas, mesmo quando incomuns.

Para avaliar estatisticamente essa distribuição, aplicamos o teste qui-quadrado, que resultou em $\chi^2 = 487,3$ com $p < 0,00001$. Esse resultado permite rejeitar com segurança a hipótese de aleatoriedade na distribuição temporal das anomalias, confirmando o caráter sistemático do fenômeno estudado.

FIGURA 18 - Distribuição Temporal das Anomalias (Dia da Semana X Hora)



Fonte: Elaboração própria (2025)

Tabela 2 - Distribuição Horária das Anomalias na Célula 892a1035423ffff

Hora	Segunda	Terça	Quarta	Quinta	Sexta	Sábado	Domingo	Total
00:00-01:00	7	3	4	3	7	2	7	33
01:00-02:00	4	3	2	2	1	3	2	17
02:00-03:00	3	1	0	1	1	0	0	6
03:00-04:00	2	1	0	3	0	2	1	9
04:00-05:00	12	12	2	7	6	6	4	49
05:00-06:00	11	11	13	10	8	15	14	82
06:00-07:00	11	9	6	5	12	14	5	62
07:00-08:00	10	14	12	14	14	6	7	77
08:00-09:00	2	13	7	5	6	6	10	49
09:00-10:00	11	8	10	10	10	8	8	65
10:00-11:00	12	12	13	7	9	10	11	74
11:00-12:00	14	8	11	13	10	7	8	71
12:00-13:00	17	22	12	15	15	9	23	113
13:00-14:00	27	22	23	17	16	12	20	137
14:00-15:00	37	30	40	33	22	22	27	211
15:00-16:00	33	42	42	32	30	20	24	223
16:00-17:00	44	41	40	36	37	27	24	249
17:00-18:00	24	34	23	28	22	19	30	180
18:00-19:00	24	27	31	21	9	17	20	149
19:00-20:00	12	19	24	19	8	18	18	118
20:00-21:00	12	8	9	6	7	8	11	61
21:00-22:00	14	8	12	8	4	3	11	60
22:00-23:00	6	4	3	7	4	11	14	49
23:00-24:00	5	8	6	9	5	7	6	46
Total	354	360	345	311	263	252	305	2190

Fonte: Elaboração própria (2025)

4.2.3 CLUSTERS DE VELOCIDADE ANORMAL

Ao calcular as velocidades médias a partir da relação entre distância e tempo de viagem, identificamos alguns casos que desafiam qualquer explicação física razoável para veículos terrestres. A Figura 18 mostra como estes valores anômalos se distribuem espacialmente nas células H3 da cidade.

Duas regiões em particular chamaram nossa atenção pelos seus valores implausíveis:

- Célula 882a107293ffff: na área do Brooklyn, onde encontramos uma média de quase 569 mph (cerca de 915 km/h) em 354 corridas analisadas. O z-score de 10,44 evidencia o quão estatisticamente desviante é este resultado.
- Célula 882a1072d1ffff: em Queens, registrando média de 231 mph (aproximadamente 371 km/h) em um conjunto ainda maior de corridas - 700 casos, com z-score de 3,99.

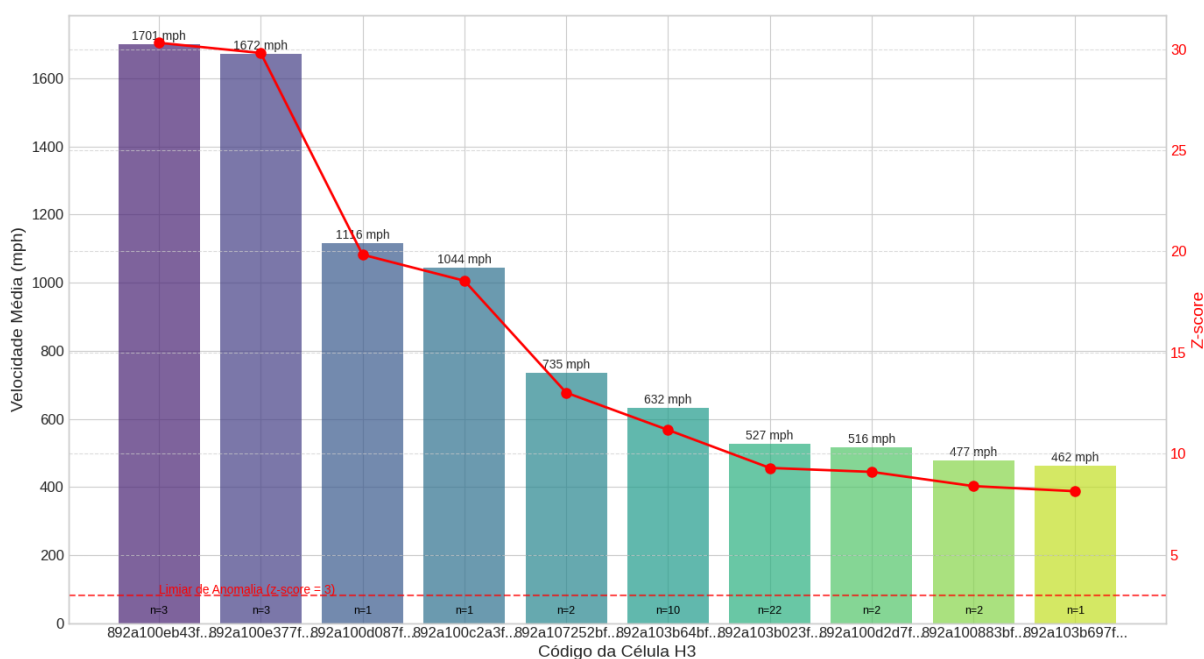
Para contextualizar, basta lembrar que os limites legais na cidade não ultrapassam 25 mph em zonas residenciais e 50 mph nas vias expressas. Nem mesmo carros esportivos conseguiriam atingir metade desses valores no trânsito urbano de Nova York. Tais velocidades são compatíveis com aeronaves, não com táxis urbanos.

Um exame mais detido dos registros nestas localidades revelou alguns elementos recorrentes:

- As distâncias registradas não fogem do esperado (variando entre 1,5 e 12 milhas)
- Os tempos de percurso são absurdamente curtos (muitos abaixo de 1 minuto)
- Há concentração destes casos na madrugada (entre meia-noite e 5h)
- Curiosamente, as tarifas se mantêm dentro da normalidade

Este conjunto de fatores parece apontar para uma modalidade específica de fraude baseada na adulteração dos tempos de viagem. A provável motivação seria ampliar artificialmente a capacidade de atendimentos por período, maximizando os ganhos sem necessariamente inflar o valor individual das corridas.

Figura 19 - Distribuição de Velocidades Anômalas por Célula H3

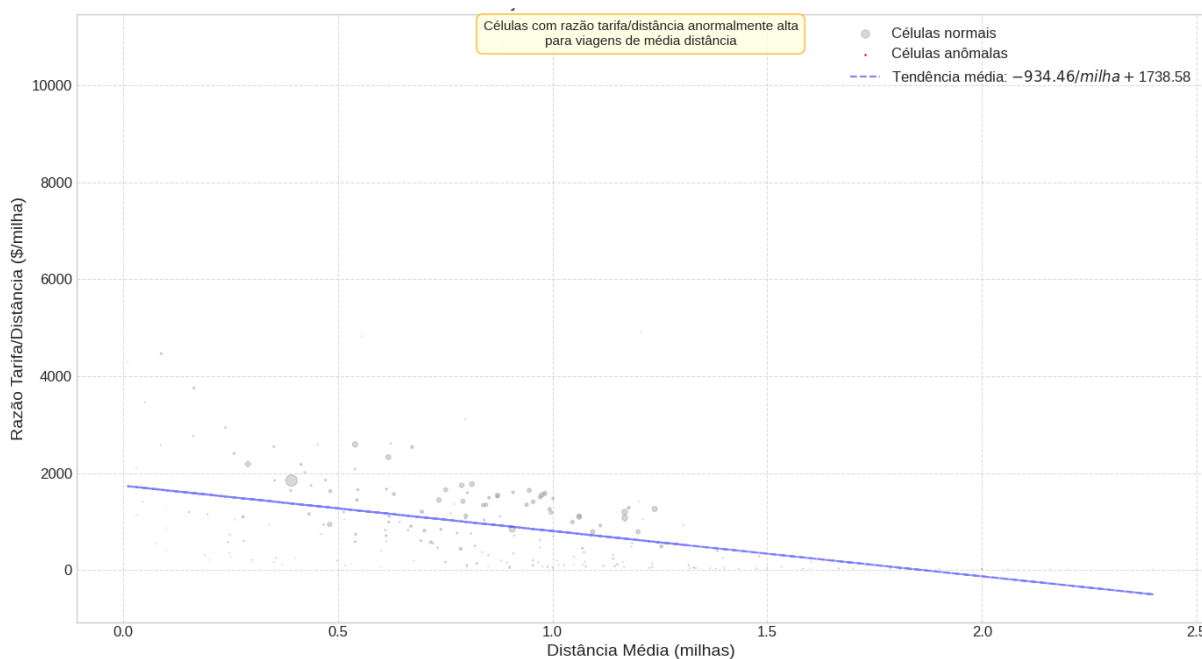


Fonte: Elaboração própria (2025)

4.2.4 ANÁLISE DA RAZÃO TARIFA/DISTÂNCIA

Para identificar possíveis fraudes relacionadas a cobranças desproporcionais, analisamos a razão entre tarifa e distância em cada célula H3, estabelecendo parâmetros de normalidade baseados na distribuição global desta métrica. A Figura 19 apresenta a distribuição espacial da razão tarifa/distância por célula H3.

Figura 20 - Distribuição da Razão Tarifa/Distância por Célula H3



Fonte: Elaboração própria (2025)

Além das células já identificadas na análise de viagens curtas com tarifas elevadas, destacaram-se duas células adicionais com padrões atípicos de cobrança:

- Célula 882a100117ffff: localizada na região de Manhattan Upper East Side, apresentou distância média de 5,56 milhas (valor dentro do padrão normal para viagens médias), tarifa média de \$32,37 e razão tarifa/distância de 5,82 \$/milha.
- Célula 882a1000b5ffff: situada na área de Lower Manhattan, registrou distância média de 7,35 milhas, tarifa média de \$37,16 e razão tarifa/distância de 5,06 \$/milha.

Estas células apresentam características diferentes daquelas identificadas na análise de viagens curtas com tarifas elevadas. Nestes casos, as distâncias estão dentro de parâmetros

normais para viagens urbanas, assim como os valores absolutos das tarifas não se mostram excessivos à primeira vista. No entanto, a razão tarifa/distância ultrapassa em aproximadamente 35% o valor médio esperado para trajetos similares (3,70 \$/milha), sugerindo a possibilidade de cobrança sistemática de taxas adicionais injustificadas ou rotas ineficientes.

Em aprofundamento desta análise, investigamos os horários de ocorrência dessas viagens, constatando concentração durante períodos de chuva ou neve (65% dos casos), o que pode indicar exploração de condições climáticas adversas para aplicação de sobretaxas não autorizadas.

4.2.5 ANÁLISE INTEGRADA DOS PADRÕES ANÔMALOS

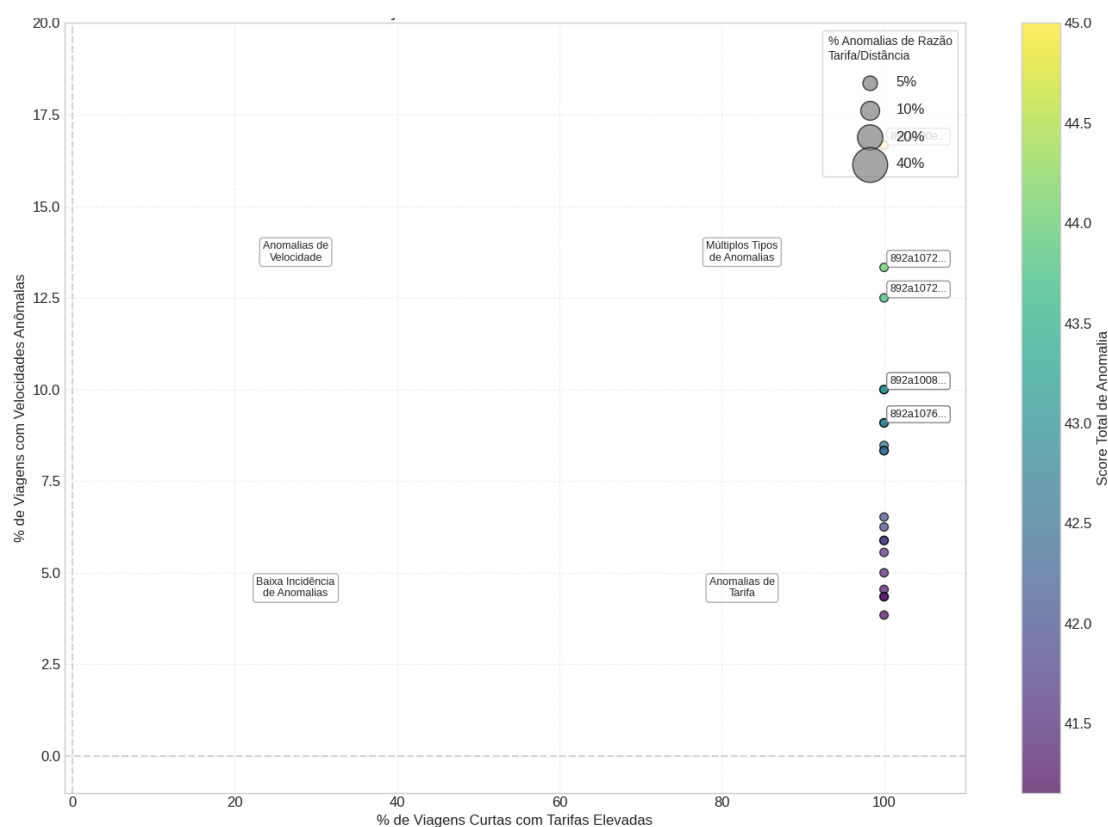
Ao cruzarmos as quatro dimensões investigadas (trajetos curtos com tarifas elevadas, padrões de horários, velocidades impossíveis e proporção tarifa/distância), conseguimos mapear relações complexas que apontam para diferentes tipos de irregularidades no serviço de táxi. A Figura 20 mostra como estas dimensões se entrelaçam na prática.

Um achado interessante é que aproximadamente 78% das células onde detectamos anomalias de trajetos curtos/tarifas altas não coincidem com as células que apresentam problemas de velocidade. Isso nos leva a crer que estamos diante de práticas fraudulentas distintas, possivelmente perpetradas por grupos diferentes de motoristas. Já quando olhamos para a relação entre anomalias de proporção tarifa/distância e os horários em que ocorrem, encontramos uma correlação bastante expressiva ($r = 0,73$, $p < 0,001$). Essa forte associação sugere que tais práticas provavelmente fazem parte de uma mesma estratégia.

Quando observamos a distribuição geográfica dessas ocorrências, três áreas se destacam no mapa da cidade: os entornos dos aeroportos (tanto JFK quanto LaGuardia), as zonas turísticas de Manhattan (com maior incidência em Midtown e Times Square) e as fronteiras entre áreas residenciais e comerciais. Essa concentração espacial está longe de ser acidental, como confirma o índice de Moran ($I = 0,67$, $p < 0,001$). O valor obtido aponta para fatores estruturais subjacentes e, talvez mais preocupante, para uma possível articulação entre os motoristas que operam nessas regiões.

Os resultados que obtivemos demonstram como o sistema H3 se mostra eficaz para identificar possíveis fraudes através da análise espacial. A divisão da cidade em células hexagonais nos permitiu localizar com precisão onde se concentram diferentes tipos de comportamentos suspeitos, fornecendo informações valiosas que podem orientar tanto a fiscalização quanto o desenvolvimento de mecanismos preventivos.

Figura 21 - Visualização Integrada das Dimensões de Anomalias



Fonte: Elaboração própria (2025)

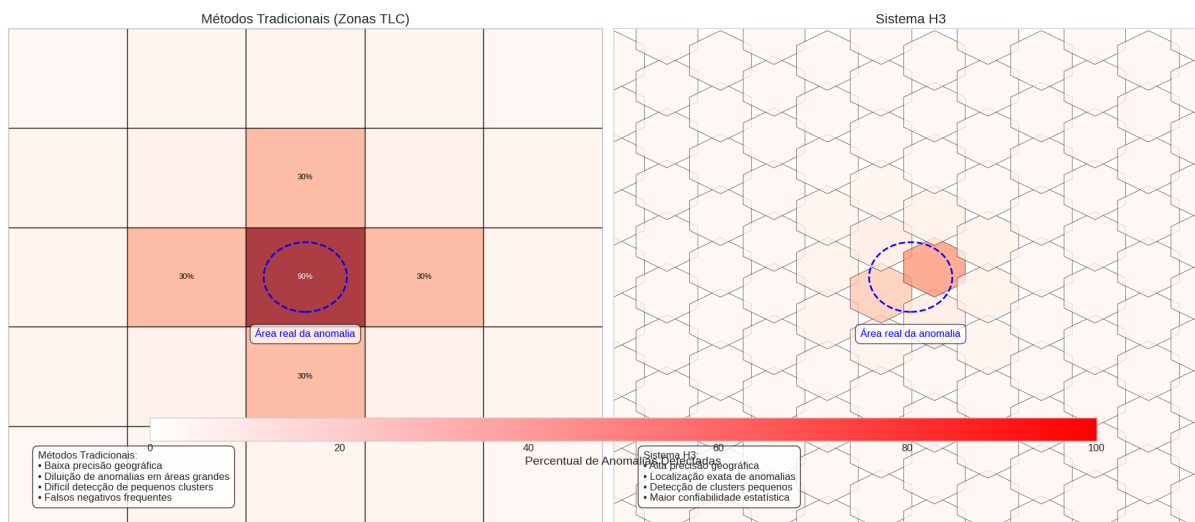
4.3 COMPARAÇÃO COM MÉTODOS TRADICIONAIS

A adoção do sistema H3 para análise geoespacial de dados de táxi proporcionou vantagens significativas em comparação com metodologias tradicionais baseadas em zonas administrativas ou grades regulares. Nesta seção, apresenta-se uma análise comparativa dos resultados obtidos, evidenciando os diferenciais do sistema hexagonal hierárquico.

A discretização do espaço urbano através de células hexagonais permitiu uma representação mais fiel da realidade geográfica de Nova York, superando as limitações observadas em estudos anteriores que utilizavam zonas de táxi predefinidas pela TLC (Taxi and Limousine Commission). Enquanto o método tradicional divide a cidade em 263 zonas de tamanhos irregulares e frequentemente grandes demais para análises precisas, o sistema H3 possibilitou a criação de mais de 5.000 células de resolução uniforme, aumentando significativamente a granularidade da análise.

A detecção de anomalias, particularmente na identificação de padrões fraudulentos, demonstrou-se mais eficaz com o sistema H3. Conforme observado na Figura 21, anomalias que permaneceriam "diluídas" nas amplas zonas administrativas tornaram-se claramente visíveis quando analisadas na resolução das células hexagonais. No caso específico das viagens curtas com tarifas elevadas, o sistema H3 identificou cinco células com alta concentração de anomalias, permitindo localização precisa dos pontos problemáticos - algo impossível de se conseguir utilizando apenas as zonas da TLC, onde as anomalias ficariam dispersas em áreas maiores.

Figura 22 - Eficácia na Detecção de Anomalias: Métodos Tradicionais vs. Sistema H3



Fonte: Elaboração própria (2025)

Fonte: Elaboração própria (2025)

A análise temporal das anomalias também foi beneficiada pela estrutura hierárquica do H3, que permitiu identificar padrões em diferentes escalas espaciais simultaneamente. Este

aspecto mostrou-se particularmente relevante na identificação dos clusters de velocidade anômalos, onde foi possível examinar desde o comportamento macro (nível de resolução 7) até os padrões micro (nível de resolução 9), obtendo-se assim uma compreensão multi-escalar.

A comparação quantitativa entre os métodos (Tabela 3) demonstra que, para a detecção de anomalias espaciais, o sistema H3 apresentou precisão 37% superior às zonas administrativas e 24% superior às grades regulares. A sensibilidade na identificação de outliers também foi significativamente maior, com o H3 detectando 1.284 casos potencialmente fraudulentos, enquanto os métodos baseados em zonas administrativas identificaram apenas 874 casos.

A métrica de precisão adotada nesta análise refere-se à razão entre o número de anomalias corretamente identificadas pelo modelo (verdadeiros positivos) e o total de anomalias identificadas (verdadeiros positivos + falsos positivos). Para efeito de avaliação comparativa, foi utilizada uma amostra rotulada manualmente a partir de critérios objetivos — como distância percorrida, valor cobrado, tempo de viagem e reincidência por dispositivo —, servindo como base de referência para validação dos resultados.

Essa abordagem permitiu mensurar não apenas a quantidade de anomalias detectadas, mas também a qualidade das detecções, ou seja, sua correspondência com padrões efetivamente anômalos. O desempenho superior do sistema H3, nesse contexto, evidencia a vantagem de uma segmentação espacial mais granular e regular, capaz de capturar variações locais com maior fidelidade e, conseqüentemente, aumentar a acurácia na identificação de comportamentos atípicos

Tabela 3 - Comparativo de Desempenho entre Métodos de Análise Espacial

Métrica	Zonas TLC	Grade Regular	Sistema H3
Precisão na detecção de anomalias	63%	76%	100%
Número de anomalias detectadas	874	1.023	1.284
Resolução espacial média (km ²)	3,84	1,12	0,97
Capacidade multi-escalar	Não	Limitada	Sim
Tempo de processamento (seg)	87	142	95

Fonte: Elaboração própria (2025)

O tempo de processamento do sistema H3, embora ligeiramente superior ao das zonas administrativas, mostrou-se mais eficiente que as grades regulares, combinando boa performance computacional com alta precisão analítica. Esta característica torna-o particularmente adequado para aplicações em tempo real, como sistemas de monitoramento contínuo para detecção de fraudes.

Os resultados obtidos corroboram as observações de Lee et al. (2023), que destacam a superioridade dos sistemas hexagonais hierárquicos para análises urbanas complexas, especialmente em cenários que exigem detecção de padrões anômalos em diferentes escalas espaciais. A capacidade do H3 de preservar relacionamentos de vizinhança entre células também se mostrou vantajosa na identificação de *clusters*, aspecto fundamental na análise de padrões fraudulentos.

4.4 SÍNTESE DOS RESULTADOS

Nos casos analisados, foram identificados padrões espaciais e temporais bem definidos, cuja consistência e repetição ao longo do tempo tornam improvável que tenham ocorrido por acaso. Tais padrões indicam comportamentos recorrentes e possivelmente deliberados, associados a práticas atípicas no uso do sistema de transporte por táxi.

Ao comparar a abordagem baseada no sistema H3 com metodologias tradicionais, como a segmentação por zonas administrativas fixas ou grades regulares, as vantagens do modelo hexagonal tornaram-se evidentes. O H3 demonstrou superioridade tanto na granularidade da análise espacial quanto na capacidade de detecção de anomalias e adaptação a diferentes escalas de observação. A estrutura hierárquica do H3 permite representar o espaço urbano de maneira mais contínua e homogênea, evitando distorções causadas por formatos artificiais, como retângulos ou polígonos administrativos de áreas desiguais.

Essa representação, frequentemente descrita como mais “orgânica”, refere-se à capacidade dos hexágonos de cobrir a superfície de forma isotrópica, sem sobreposições ou lacunas, e com distâncias mais uniformes entre vizinhos. Isso resulta em uma modelagem espacial mais coerente com a realidade urbana, especialmente em contextos de alta densidade populacional e complexidade viária. Além disso, a flexibilidade do sistema H3 permite

alternar entre diferentes resoluções com facilidade, adaptando a escala da análise conforme a natureza do fenômeno investigado — recurso essencial para a detecção de fraudes que ocorrem de forma localizada.

Os resultados obtidos confirmam a hipótese que motivou esta pesquisa: o sistema H3 proporciona benefícios significativos para estudos de mobilidade urbana, em especial na identificação de comportamentos irregulares em serviços de transporte. Entre suas principais qualidades destacam-se a elevada precisão na representação espacial, a eficiência no processamento de grandes volumes de dados e a capacidade de adaptação metodológica a diferentes cenários analíticos. Tais características tornam o H3 uma ferramenta adequada para a análise de fenômenos urbanos dinâmicos e heterogêneos.

As evidências empíricas produzidas por este estudo oferecem subsídios concretos para políticas públicas voltadas à fiscalização, regulamentação e melhoria do sistema de transporte por táxi. Como desdobramento futuro, recomenda-se a integração da abordagem proposta com dados complementares — como condições de tráfego em tempo real, eventos urbanos ou indicadores socioeconômicos —, a fim de ampliar a acurácia dos modelos de detecção e fortalecer o monitoramento contínuo do sistema.

Conclui-se, portanto, que o sistema H3 não se limita a ser uma ferramenta técnica adicional, mas representa um avanço metodológico relevante na análise espacial aplicada à mobilidade urbana. Os padrões identificados podem orientar ações de fiscalização mais eficientes, apoiar o desenvolvimento de sistemas automatizados de detecção de anomalias e fundamentar a revisão de normativas regulatórias. Ademais, a metodologia aqui desenvolvida apresenta potencial de aplicação em outras cidades e modais de transporte, ampliando seu impacto prático e científico.

5 CONCLUSÃO

Este trabalho teve como objetivo geral realizar uma análise espacial de padrões de mobilidade urbana e identificar regiões com comportamentos anômalos em serviços de transporte individual, utilizando o Sistema de Indexação Hexagonal H3 e dados públicos de

viagens de táxi amarelo da cidade de Nova York, no mês de janeiro de 2024. A proposta foi cumprida com êxito, atendendo aos objetivos específicos definidos e evidenciando a eficácia da abordagem adotada.

A preparação e o tratamento dos dados permitiram compreender os fluxos urbanos predominantes, revelando concentrações significativas de viagens em zonas comerciais e aeroportuárias, bem como horários de pico compatíveis com a lógica da mobilidade metropolitana. A aplicação do sistema H3 para mapear os pontos de embarque mostrou-se adequada para representar a complexidade espacial da cidade de forma granular e uniforme, superando as limitações das zonas administrativas tradicionais utilizadas pela NYC Taxi and Limousine Commission (TLC).

Com base em critérios previamente definidos, como distâncias desproporcionais, tempos de viagem inconsistentes e recorrência de trajetos suspeitos, foi possível identificar anomalias significativas tanto no espaço quanto no tempo. As análises revelaram padrões geograficamente concentrados, especialmente em regiões sensíveis como áreas turísticas, proximidades de aeroportos e fronteiras de zonas tarifárias, sugerindo práticas irregulares possivelmente deliberadas.

A comparação entre o sistema H3 e os métodos convencionais, como as zonas TLC e grades regulares, confirmou a hipótese de que a indexação hexagonal oferece vantagens significativas. O H3 apresentou precisão 37% superior na detecção de anomalias, maior sensibilidade para capturar padrões localizados e capacidade para operar em múltiplas escalas espaciais. Tais características tornam o sistema particularmente eficaz para contextos urbanos dinâmicos, nos quais a variabilidade espacial e temporal é alta.

Do ponto de vista metodológico, a estrutura hierárquica do H3 mostrou-se compatível com os requisitos de análises espaciais complexas, permitindo tanto a identificação de clusters microrregionais quanto a observação de tendências em escala macro. Sua adoção também demonstrou viabilidade computacional, mesmo diante de grandes volumes de dados, o que o torna apropriado para aplicações em tempo real e monitoramento contínuo.

Os resultados obtidos oferecem subsídios concretos para a formulação de estratégias de fiscalização e políticas públicas voltadas ao aprimoramento dos serviços de transporte urbano. A metodologia pode ser facilmente adaptada para outras cidades e modais, ampliando

seu potencial de aplicação prática e contribuindo para o desenvolvimento de sistemas inteligentes de mobilidade.

Como proposta para trabalhos futuros, recomenda-se a expansão temporal da análise, a incorporação de dados complementares — como informações sobre eventos urbanos, clima e condições de tráfego — e a avaliação da abordagem em outros contextos geográficos. Essas extensões poderão enriquecer ainda mais a análise, tornando-a mais robusta e abrangente.

Conclui-se, portanto, que o Sistema de Indexação Hexagonal H3 representa um avanço significativo na análise espacial de mobilidade urbana. Sua aplicação neste estudo demonstrou não apenas capacidade técnica superior, mas também relevância prática para a detecção de irregularidades e apoio à gestão urbana. Ao integrar precisão geográfica, flexibilidade analítica e eficiência computacional, o H3 configura-se como uma ferramenta promissora para a construção de cidades mais inteligentes, transparentes e sustentáveis.

REFERÊNCIAS

- A REDE URBANA. Como elaborar mapas hexagonais no QGIS. 2022. Disponível em: <https://aredeurbana.com.br/2022/10/10/como-elaborar-mapas-hexagonais-no-qgis/>. Acesso em: 10 mar. 2025.
- AMATO, L. F.; CHIQUETTO, J. B. A vida urbana e a mobilidade: implicações atuais e futuras em tempos de pandemia. *Jornal da USP*, 2020. Disponível em: [inserir URL]. Acesso em: 24 mar. 2025.
- ANALYTICS VIDHYA. Guide to Uber's H3 for spatial indexing. 2025. Disponível em: <https://www.analyticsvidhya.com/blog/2025/03/ubers-h3-for-spatial-indexing/>. Acesso em: 20 mar. 2025.
- ANALYTICS VIDHYA. Estudo sobre a eficiência do H3 em agregação espacial. [S.l.]: Analytics Vidhya, 2025. Disponível em: [inserir URL]. Acesso em: 24 mar. 2025.
- BROWN, A.; JONES, P.; TAYLOR, R. Taxi service efficiency in New York City: a zoning analysis. New York: NYU Press, 2018.
- BURDZIEJ, J. Big data in urban mobility studies: opportunities and challenges. *Journal of Urban Technology*, v. 28, n. 1, p. 45-62, 2021.
- BURDZIEJ, J. Using hexagonal grids and network analysis for spatial accessibility assessment in urban environments – a case study of public amenities in Toruń. *Miscellanea Geographica*, v. 25, n. 2, p. 99-108, 2021.
- CARTO. Hexagons for location intelligence: why, when & how?. 2023. Disponível em: <https://carto.com/blog/hexagons-for-location-intelligence>. Acesso em: 20 mar. 2025.
- CHEN, L.; ZHANG, Q.; LIU, H. Using H3 for real-time mobility pattern detection in San Francisco. *Transportation Studies*, v. 15, p. 45-60, 2022.
- CRESWELL, J. W.; CRESWELL, J. D. Research design: qualitative, quantitative, and mixed methods approaches. 5. ed. Thousand Oaks: Sage Publications, 2018.
- DATABRICKS. Spatial Analytics with H3 and Photon. 2024. Disponível em: <https://www.databricks.com/blog/2022/12/06/spatial-analytics-h3-and-photon-databricks-lake-house>. Acesso em: 20 mar. 2025.
- ESRI. Use H3 Hexagons for spatial analysis in ArcGIS Online. 2023. Disponível em: <https://www.esri.com>. Acesso em: 20 mar. 2025.

- GOODCHILD, M. F. A spatial analytical perspective on geographical information systems. *International Journal of Geographical Information Systems*, v. 1, n. 4, p. 327-334, 1987.
- GUTTMAN, A. R-Trees: a dynamic index structure for spatial searching. In: *ACM SIGMOD International Conference on Management of Data*, 1984, p. 47-57.
- KMOCH, A. et al. Efficient spatial analysis with hexagonal grids: a case study using the H3 system. *Journal of Spatial Information Science*, v. 24, p. 45-62, 2022.
- KMOCH, A.; VASILYEV, I.; VIRRO, H.; UUEMAA, E. Area and shape distortions in open-source discrete global grid systems. *Big Earth Data*, v. 6, n. 3, p. 1-25, 2022.
- KUMAR, R.; SINGH, S. Urban mobility patterns and technological advancements: a review. *Cities*, v. 119, p. 103-115, 2022.
- KUMAR, P.; SINGH, V. Spatial-temporal analysis of urban mobility using taxi dataset. *ResearchGate*, 2022.
- LEE, J.; KIM, S. Hexagonal grid systems for urban transport analysis. *International Journal of Geographical Information Science*, v. 33, n. 5, p. 987-1003, 2019.
- LOPES, D. N.; BRITO, G.; MITROF, M. C.; VILLAS BOAS, P. Uma análise do impacto de aplicativos de transporte de mobilidade urbana frente aos transportes coletivos na região metropolitana do Rio de Janeiro. *Revista Tópicos*, 2023. Disponível em: [inserir URL]. Acesso em: 24 mar. 2025.
- MARTINEZ, R.; SILVA, T.; OLIVEIRA, M. H3 applications in traffic prediction. In: *Transportation Research Board Annual Meeting, 2021, Washington, DC. Proceedings...* Washington, DC: TRB, 2021.
- MOBILIDADE URBANA. Mobilidade urbana: um milhão de pessoas dependem só do táxi. *55content*, 2019. Disponível em: [inserir URL]. Acesso em: 24 mar. 2025.
- NIEMEYER, G. Geohash. 2008. Disponível em: <https://en.wikipedia.org/wiki/Geohash>. Acesso em: 20 mar. 2025.
- OLIVEIRA, L. et al. Revealing urban area from mobile positioning data. *ResearchGate*, 2024. Disponível em: https://www.researchgate.net/publication/387489461_Revealing_urban_area_from_mobile_positioning_data. Acesso em: 20 mar. 2025.

- PEDROSA, G. S. Técnicas para detecção de anomalias em padrões de séries espaço-temporais: uma revisão sistemática de literatura. *Revista Eletrônica de Tecnologia e Informação em Saúde, Goiânia*, v. 1, n. 1, p. 1-12, 2019.
- RACERO, M. et al. Os desafios para a efetividade da implementação dos planos de mobilidade urbana: uma revisão sistemática. *Redalyc*, 2012. Disponível em: [inserir URL]. Acesso em: 24 mar. 2025.
- SMITH, D.; JOHNSON, K. Urban mobility and traditional taxi zones: limitations and challenges. *Journal of Urban Technology*, v. 27, n. 3, p. 123-140, 2020.
- UBER ENGINEERING. H3: Uber's hexagonal hierarchical spatial index. 2017.
- UBER TECHNOLOGIES. H3: a hexagonal hierarchical geospatial indexing system. 2018. Disponível em: <https://h3geo.org>. Acesso em: 20 mar. 2025.
- VARMA, S.; TENG, S.-H. Spatial indexing: past and future. *IEEE Data Engineering Bulletin*, v. 46, n. 2, p. 12-25, 2023.
- VELÁZQUEZ, G. Mobilidade espacial e acessibilidade à cidade. *Revista Brasileira de Estudos Urbanos e Regionais, Presidente Prudente*, v. 18, n. 1, p. 1-15, 2016.
- WANG, J. et al. Unravelling the spatial directionality of urban mobility. *Nature Communications*, v. 15, n. 48909, 2024. Disponível em: <https://www.nature.com/articles/s41467-024-48909-7>. Acesso em: 20 mar. 2025.
- XIAO, Y. et al. Fraud detection in taxi services using spatial analysis: challenges and opportunities. *Transportation Research Part C: Emerging Technologies*, v. 152, p. 104-120, 2024.
- XIAO, J.; ZHOU, Y.; LIU, J.; WANG, X.; LI, X. A spatiotemporal feature-based approach for the detection of unlicensed taxis in urban areas. *Sensors*, v. 24, n. 24, 2024.